

APPUNTI MANOSCRITTI PER CORSO COSTRUZIONE DI MACCHINE PF60

① PROGETTO

Definizione: Un progetto consiste nell' organizzazione di obiettivi nel tempo otte a trarre una soluzione in grado di soddisfare esigenze specifiche o rendere un problema.

Obiettivo:

- FUNZIONALE → rispettare le esigenze del client e soddisfarne gli nes-
che si prefigge
- SICURO → il prodotto non deve comportare rischi per nessuno, se questi non sono conosciuti oltre che come forniti direttamente d'uso o avvertimenti.

- AFFIDABILE → alte probabilità che il prodotto complisca la sua fusione

- COMPETITIVO → prodotto conveniente sul mercato
- UTILIZZABILE → prodotto ad utilizzatore
- REALIZZABILE → il prodotto e le sue sottoparti devono essere realizzabili tramite Tecnologie esistenti
- VENDIBILE → prodotto deve poter essere acquistato tramite una revisio di omologazione e ricambi.

Parole chiave: meno invasivo, meno invasivo, meno invasivo, meno invasivo

Spesso si lavora poco

informazioni!

Spesso si lavora

troppo informazioni

anche contraddittorie

↓

obiettivo

↓

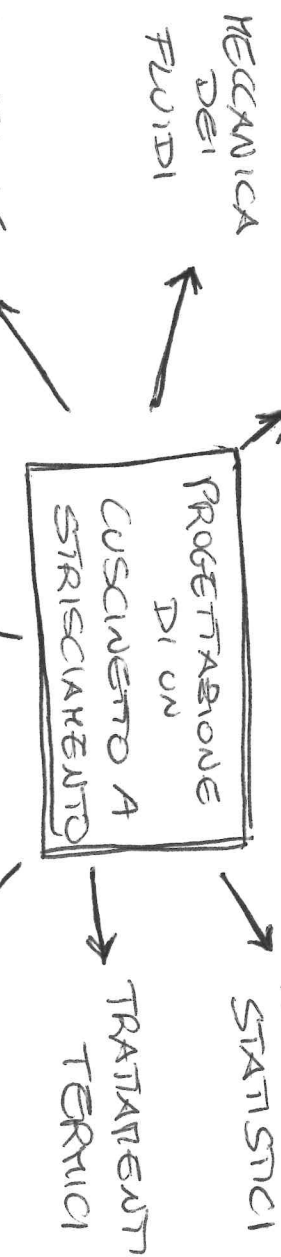
ingegnere è
un PROBLEM
SERV

problema introduci plinore — e.g.

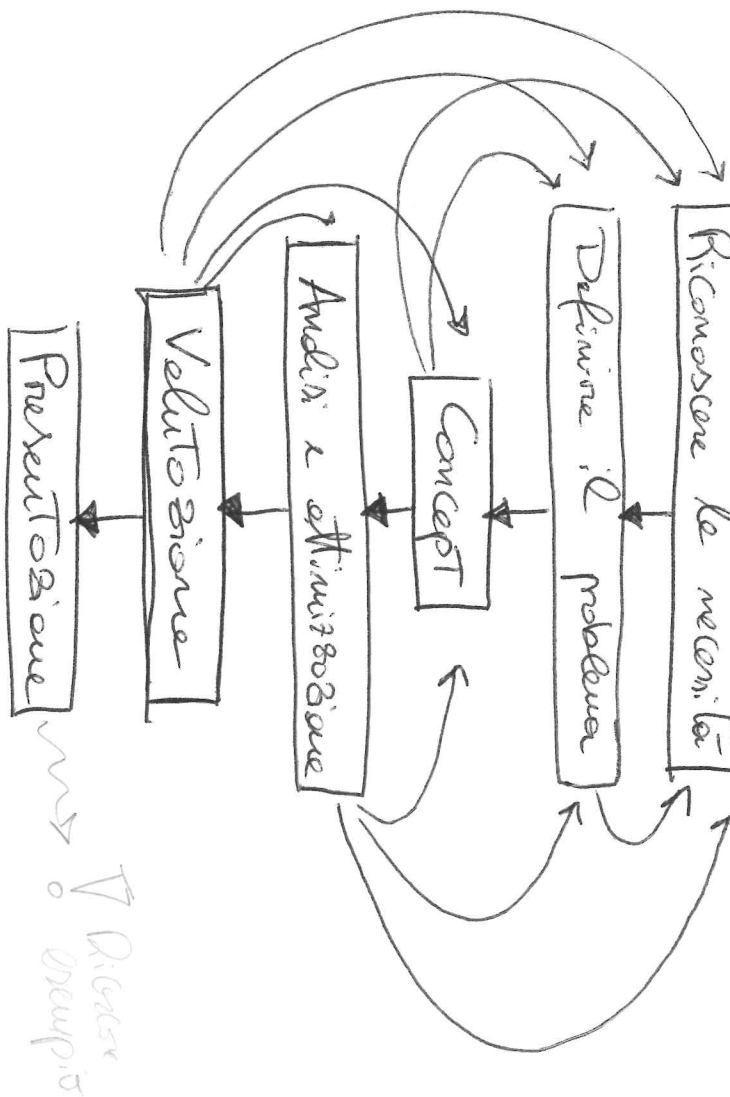
etc.

e.g.

modelli
statistici



② PROGETTO MECCANICO



Riconoscere le necessità: For più controllo del progetto, richiede molta immaginazione. Tuttavia in questo forse le bisogni è solo vago, legato ad una funzione (e.g. macchina inizia a fare un rumore strano)

Definire il problema: Bisogna specificare il problema ed i relativi vincoli. Se il progetto è una black-box, in questo forse devo definire tutti gli INPUT e OUTPUT

Concept: Devono essere proposti diversi schemi di progetto
C.i.e. sistemi delle comunicazioni possibili tra gli elementi del
sistema e devono essere quantificati con
ogni sistema di valutazione (e.g. KPI, --, etc.)

Analisi e ottimizzazione: Tutto ciò che è legato alle valutazioni
quantitative delle prestazioni del componente progettato.
Si fa spesso uso di modelli matematici. Spesso si fa
ricche il progetto è un piano iterativo onde tutte
le sue componenti siano indipendenti (e.g. si pensi alle
regole di una transmisione di potenza).

Valutazione: in queste fasi si fa spesso una prova in
laboratorio su un prototipo.

Presentazione: fase più importante in cui bisogna avere capace
di "vendere" la propria soluzione progettuale. Può avvenire
intromettendo sé stessi, anche in forme molto ridotte del
progetto o verso il pubblico in forme di locandina. Una
cattiva presentazione può avere le cause di un fallimento
di un progetto, anche se valido.

③ AUSILI ALLA PROGETTAZIONE

- TESTI TECNICO-SCIENTIFICI → e.g. libri scientifici o universitari
- CATALOGHI DEI COSTRUTTORI → e.g. Catalogo SKF
- SOFTWARE DI PROGETTAZIONE CAE → e.g. SOLIDWORKS
 - modelli tridimensionali
direzioni bidimensionali
rotazione additiva (percorso)
 - personaggi utenti (CAR)
 - proprietà fisiche dei pezzi (massa, volume, baricentro)
 - calcoli statici, tensionali, deformazioni, vibrazioni,
rischi, Tornei
 - fluidodinamicaComputazione
 - dinamica di corpi e meccanismi
- SOFTWARE GENERICI
 - trascrizione dati in tabelle (e.g. Excel)
 - rielaborazione esperienze notevoli (e.g. MATLAB)
 - Scrivere (e.g. word, Latex)
- ⚠ E' responsabilità del progettista tenere aggiornate su tutto quello che concerne i dati: nuovi, diverse fonti
Nuove: biblioteche, fonti istituzionali (Ministeri, uffici brevetti, CNR, Ente nazionale certificazione), Categorie professionali (ASME, SNE, ASTM, ...), fonti industriali (cataloghi, webinars, collaborazioni), internet

4 IL RUOLO DEI NORME NELL'PROGETTAZIONE

STANDARD

- hanno lo scopo di rendere uniformi i metodi di progettazione
- consentono il progettista finisce la definizione di metodologie e forniscano raccomandazioni che intendono come requisito minimo da rispettare

- NORMATIVE:
- sono documenti che vincolano legalemente l'opere del progettista
 - danno regole obbligatorie
 - rimandano spesso agli Standard (glieloro con valore legale)

STANDARD E NORMATIVE

sono spese legge e norme specifiche

Alcuni enti nazionali e internazionali che forniscono Standard e normative:

ASTM (American Society of Testing and Materials)

UNI (Ente Nazionale Italiano di Unificazione)

IIN (International Institute of Welding)

Si parla di normative EU nella importanza ambientale legate alle

progettazione di edifici

Simbolo E di DIN 1015
Normativa (2021/CE) Standard
in che misura la norma ha una quantità
più difficile da quello nominale



Il progettista è obbligato a rimanere nei vincoli di:
progetti obblighi normative, ma non deve per forza
rispettare gli standard ~~ma~~ a suo piacimento. **E**
Gli standard sono le ragionevoli sicurezze di rispetto alla legislazione.

⑤ SPECIFICA TECNICA

Mostre specifiche di
Specifiche Tecniche

Definizione: costituire la definizione tecnica
Corretta di un prodotto industriale.

Desiderio: - Conclusione di una trattativa tecnico-economica
- Conclusione di un'aula tecnico-economica

Schemi:

1. Sifil, data, responsabile

2. Sommario

3. Indice

4. Introduzione → chiarire i criteri generali col cui si risolve il problema

5. Prestazioni → precise qualitativamente e quantitativamente le prestazioni richieste. Si danno solo i valori
minimi o intervalli di valori numerici, interface

6. Condizioni da soddisfare → ingombri, dimensioni e ~~affidabilità~~ condizioni di costo e affidabilità

- Per e ingombri
- Interface
- Prestazioni Regole e regolamenti (NARRATIVE)
- Condizioni ambientali
- Condizioni ergonomiche (rapporto prodotto - persone)

? Trasporti, consegna e installazione → definire precisamente tutto

3. Collocazione elettrica → norme di tensione, norme in opera

9. Assistenza Tecnica → esperimento, manutenzione, soluzioni

Stoccolmano, riparazione e ricambio

10. Forme

11. Allegati:

12. Elenco dei simboli

Ultimi documenti nel quale definire il prodotto insieme alle sue

caratteristiche, i costi, le vendite

⑥ ASPECTI IMPORTANTI DA CONSIDERARE DURANTE LA PROGETTAZIONE (Creare!)

6.1 TENSIONE E RESISTENZA

La resistenza è una proprietà intrinseca del materiale/Componente e può variare da punto a punto.

La tensione/defformazione è una proprietà temporanea

Il progettista ha lo scopo di definire una guida alla omologabile costante della resistenza e confrontarla con la tensione per definire un coefficiente di Sicurezza.

6.2 COEFFICIENTE DI SICUREZZA

$$n = \frac{X \text{ (Parametro che identifica le perdite di funzionalità)}}{Y \text{ (Parametro nominativo)}}$$

$X \rightarrow$ rettifica (Sx) o plasticizzazione (Sy) o frattura normale (dx),
progettazione a
RESISTENZA

Progettazione a
RISISTENZA

\rightarrow è importante che abbia la stessa unità di misura di X

6.3 INCERTEZZE

Nella progettazione meccanica ci sono molti tipi di incertezze:

- caratteristiche del notevole
- visione prospettiva sul relativo componente
- effetto delle lavorazioni (integre sulla sollecita)
- incertezza sui concetti e nei criteri oggettivi
- effetto corrosione
- effetto usura.
- validità dei modelli matematici utilizzati nel calcolo

(6.4) QUOTE E TOLERANZE

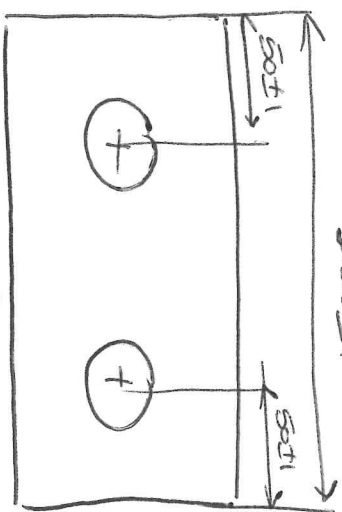
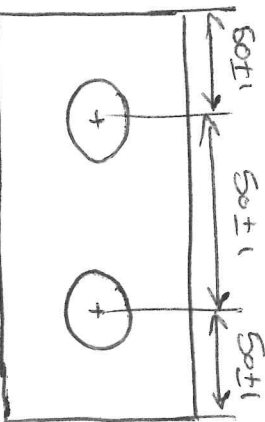
Le tollenze devono essere scritte dal progettista e non in modo arbitrario. Le considerazioni da fare sono:

- funzionalità del pezzo
- montaggio
- capacità minima di produzione
- controllo qualità e costo

6.4.1 Tolleranza dimensionale

Tipicamente bisogna scrivere tollenze più bashe possibili ed indicare di stretti perché non si riconosca

La quotazione è responsabilità del progettista, bisogna indicare nelle tollenze informazioni sufficienti senza possibilità di interpretazione multipe.



(a)

(b)

Se i fori servono per mantenere un' altra parte che ha sola penne la distanza tra i fori è critica e quindi la quotatura (b) non sarebbe corretta

6.5 UNITÀ DI MISURA E CIFRE SIGNIFICATIVE

Tipicamente è bene usare sistemi di unità omologhi (sistemi internazionali).

In questi sistemi si hanno tutte le unità di base che ci si può trovare tutte le altre.

E.g. $F = m a$ (seconda legge dinamica)

Wendo si mi
↓ chiuso la unità della F

$$F = M L T^{-2} = \text{kg m s}^{-2} = \text{N}$$

Tipicamente nell'ambito ingegneristico ci si pone soltanto
3 o 4 cifre significative.

Cifra significativa: sono i numeri delle cifre espese ed
il cui valore ~~legge~~ che prevedono le cifre

non malle.

e.g.

70.60

70.6

4 cifre

3 cifre

D: nuova versione pensata di avere almeno 3 o 4 cifre
di guida civile e quelle uscite nei dati iniziali che a
veggono dati.

7 LINEE GUIDA NELLA PROGETTAZIONE

Nel corso degli anni sono state elaborate linee
guida per le regole di vincolare la scelta per progettare
verso una specifica finalità

Design for "X" → linee guida per le progettazioni
DFA (design for assembly) orientate alla manutenzione
DFM (" " manufacture)
DFR (" " recycling)

X = Assembly : - minimizza numero delle parti

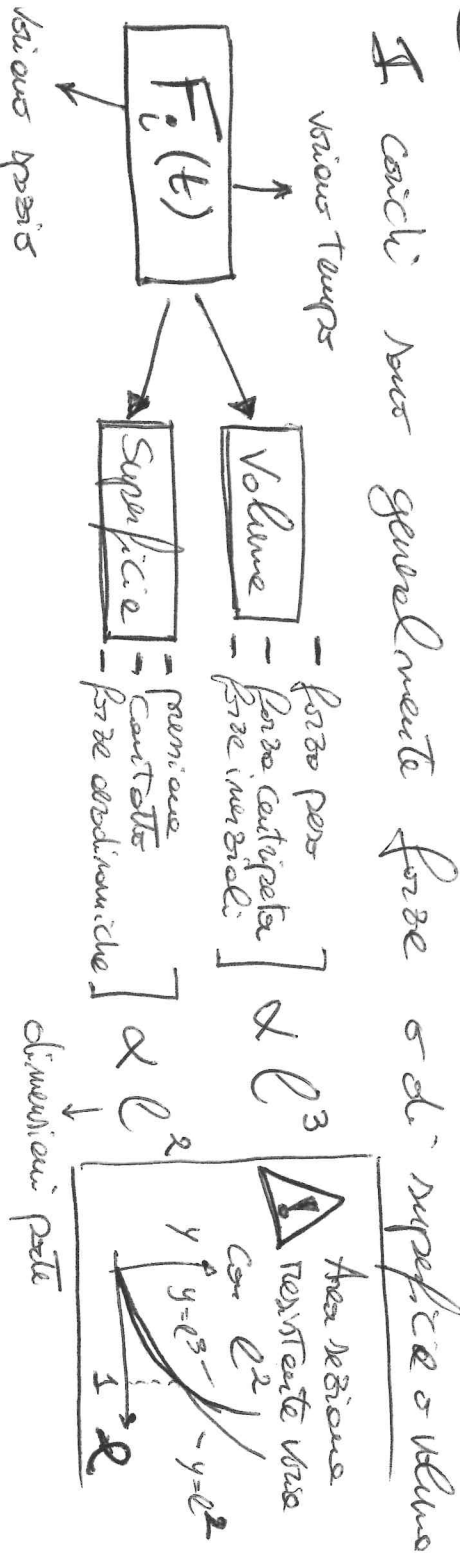
- uso di "offmos" speciali
- riduzione dimensioni di meccanismo
- prevedere forme in grado di allungare l'indumento
- forme facili da trasportare
- utilizzo di componenti standard

estore più
di Dime

X = Manufacture: - ci sono componenti dove non serve per avere prodotti tramite uno specifico processo tecnologico

- parti standard
- progetti modulari
- no soluzioni speciali

③ ANALISI DEI CARICHI



Tipologie: - di resistenza (normali condizioni di funzionamento)

- per norme
- obietti industriali
- indotti da deformazioni:
 - operazioni di montaggio
 - origine termica
- ambiente esterno (e.g. neve, vento ...)
- di attrito
- generati da traslazioni brusche (sguitti, vibrazioni)
- origine magnetica, elettromagnetica, elettrostatica
- occasionale (e.g. collasso, troppo ...)
- accidentali

Da questi si eliscono individuare: - CARICHI ORDINARI
- CARICHI ACCIDENTALI

- MASSIMI CARICHI ACCIDENTALI
- CARICHI ordinari
- durata)

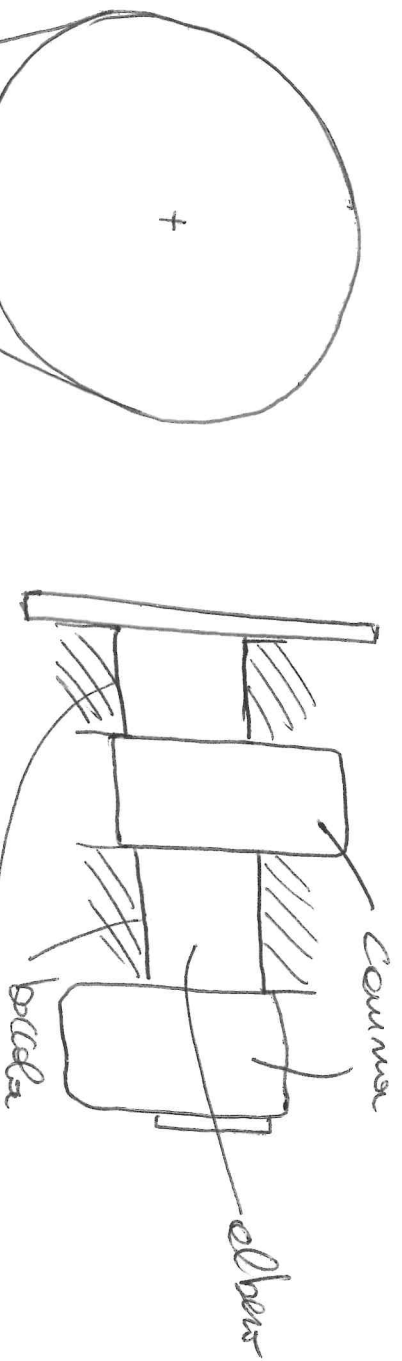
⑨ SCHERATIZZAZIONI

Tridurre la realtà in uno schema chi colloci.

⚠ Nelle forze successive dell'ordine bisogna sempre ricordare le ipotesi iniziali!

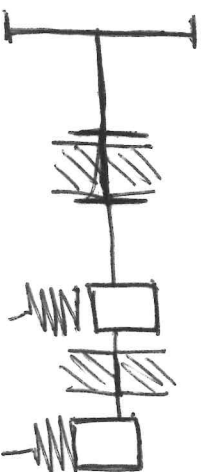
E.g. Come scheratizzare il seguente componente

"Albero a cono con cerniere di distribuzione"

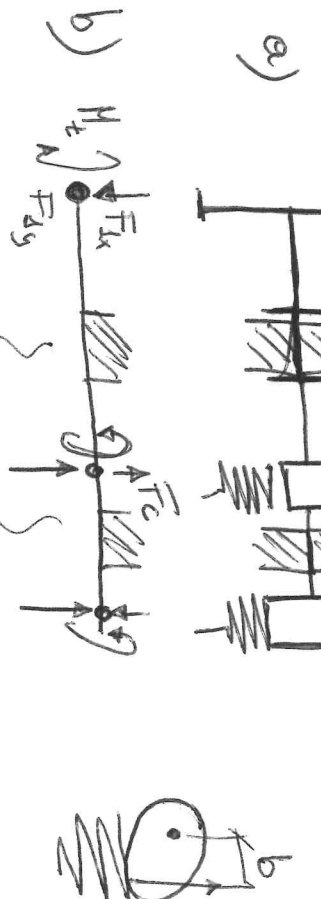


Caso

Scherzo cinematico a)



Scherzo statico b)



\rightarrow cas
un
momento

Come modellare i vincioli? Dipende!

= Collocazione bocca
= gioco di montaggio

Se le deformazioni sono piccole spese si ignorino
vincoli sostanziali

10 RICHIAMI SU SOLLECITAZIONI SU TRAVI RETTILINEI

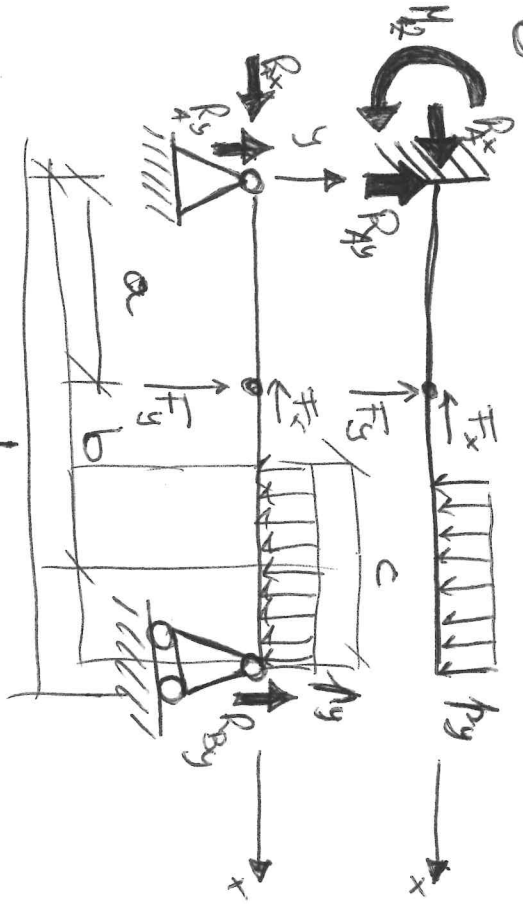
Nell' analizzare una struttura (i.e. comportamento meccanico) si definiscono normalmente modelli semplici che modellizzano le caratteristiche fondamentali delle strutture in esame.

Tra i modelli più semplici c'è la **TRAVE**, salvo modellunidimensionale (i.e. lunghezza). Si considera tipicamente che il materiale sia IDE - isotropo, omogeneo, lineare elastico e che le deformazioni siano piccole.

10.1 FORZE ESTERNE E REAZIONI VINCOLARI

La prima per le quali viene scherziata è il componente come elemento trave è il solo delle reazioni vincolari dati i concetti esterni (anch'essi oggetto di rilevazione). La teoria delle travi viene tipicamente applicata in ambito statico, in questo caso si pensa anche inserire le forze d'ingresso come **forzanti statiche**. Una volta nota le condizioni di moto,

e.g. \uparrow^y



$$\left| \begin{array}{l} x: R_{Ax} = F_x \\ y: R_{Ay} = F_y - c \cdot b - \bar{F}_y \\ (\Rightarrow: M_2 = R_A \cdot c \cdot b - \bar{F}_y \cdot a) \end{array} \right.$$

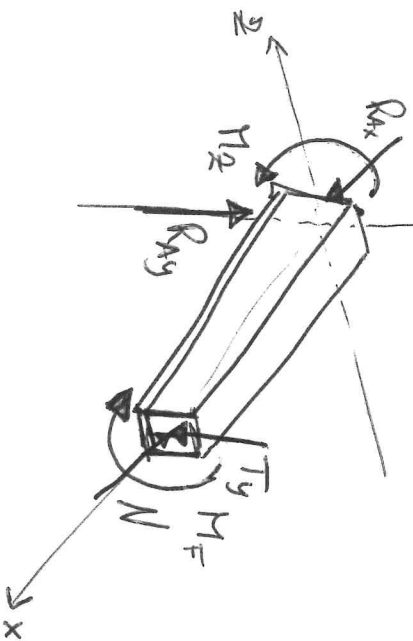
$$\left| \begin{array}{l} x: R_{Ax} = \bar{F}_x \\ y: R_{Ay} = -R_{By} - \bar{F}_y + F_y \\ (\Rightarrow: \bar{F}_y \cdot a + R_{By} \cdot L - \bar{F}_y \cdot b = 0) \end{array} \right.$$

(10.2) CARATTERISTICHE DELLA SOLLECITAZIONE

Riassumendo le obiezioni che due tranchi della storia
Trova si scambiano in una gerarchia: resistenza normale
di' one:

- FORZA NORMALE (N) → perpendicolare alla sezione e agente
sul baricentro
- FORZE DI TAGLIO (T_x, T_y) → agenti secondo gli assi centrali
di inerzia
- MOMENTI FLETTENTI (M_x, M_y) → ripetto agli assi x e y
- MOMENTO TORCENTE (M_z) → ripetto di' one 2

E.g. esempio delle trave incastri di Pagina 12



(10.3)

TENSIONI AGENTI NELL SEZIONE DI UNA TRAVE

Una volta notate le caratteristiche di sollecitazione è possibile
calcolare le tensioni agenti in una gerarchia: resistenze

• FORZA NORMALE (N) → TENSIONE NORMALE (σ_{\perp})

$$\boxed{\sigma_{\perp} = \frac{N}{A}}$$

area



! La tensione normale non dipende dalla geometria della sezione

Tuttavia in corso di $N \neq 0$ la trave può diventare instabile e perdere la resistenza carica.

• Flessione (M_f) → Tensione normale (σ_2)

$$\sigma_2 = \frac{M_f}{J_x} y$$

distezze one
neutra

FORMULA DI NAVIER

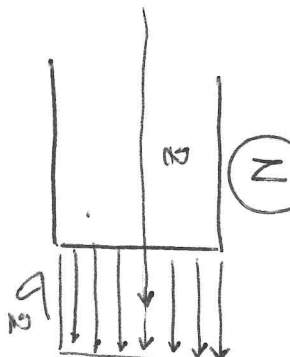
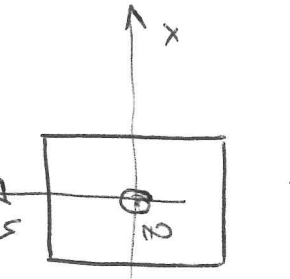
Momento
d'inerzia della
sezionale rispetto all'asse x

Molte importanti è il modo di resistenza a flessione

$$W_x = \frac{J_x}{y_{max}} \rightarrow \sigma_{2,max} = \frac{M_f}{W_x}$$

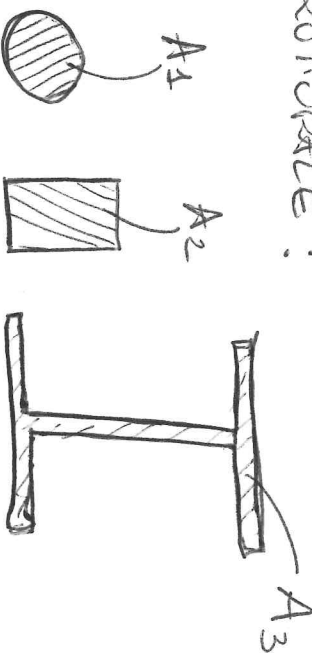


Differenza tra tensione normale data da $N = M_f$

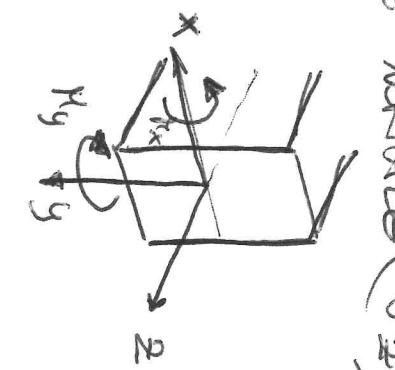


Nel caso di forza normale la sezione è uniformemente elastica dunque i momenti plattanti corrispondono di più le zone lontane dall'asse neutro.

EFFICIENZA STRUTTURALE:



Se $A_1 = A_2 = A_3$ le sezioni sono ugualmente efficienti se forze normale non diminuisce effettivamente momento plattante.



• TORSIONE (M_T) → TENSIONI TANGENZIALI (τ)

Nel caso di travi con sezione circolare o quadrata la tensione tangenziale dovuta al momento torcente in un punto d'ordine n rispetto alla sezione è data da:

modulo di resistenza
a torsione

$$\tau_{\max} = \frac{M_T}{W_T} = \frac{T}{J_O \cdot r_{\max}}$$

$$\tau = \frac{M_T \cdot n}{J_O}$$

distanza dall'asse
mentre d'incisa polse

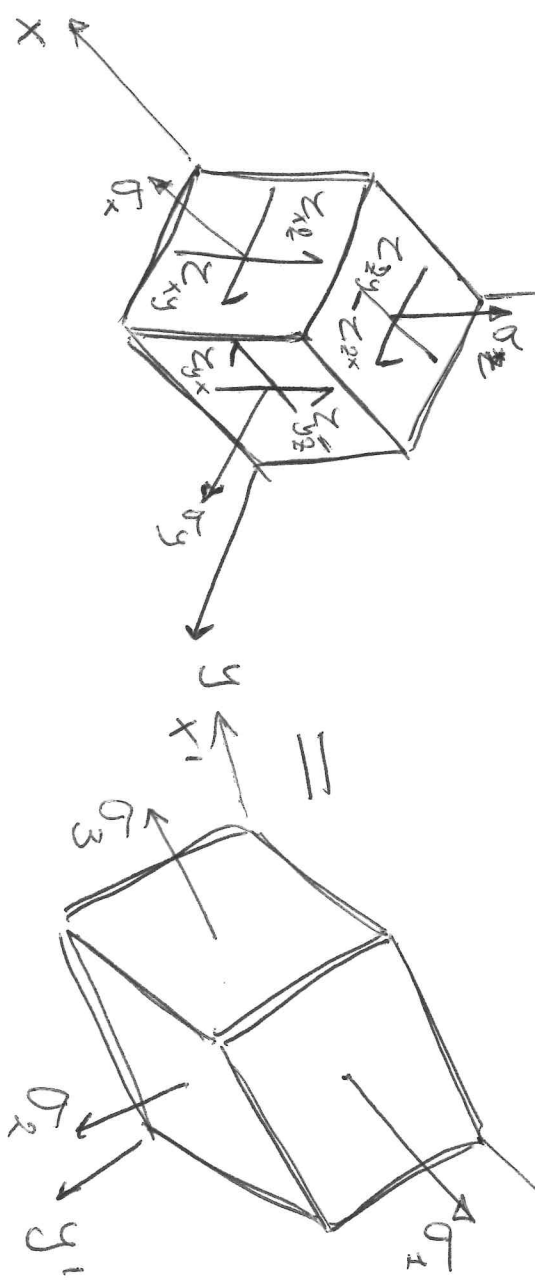
Esercitazione 1

(Consideriamo il taglio
con un esempio costruttivo)

④ DIAGRAMMA CIRCOLARE DELLO STATO DI TENSIONE

Come noto dalla meccanica dei solidi lo stato tensoriale e definitivo ha CAMPI TENSORIALI, cioè ogni punto del materiale è descritto da un tensore.

Lo stato di Tensione e definizione sono descritti dal tensore DUEO SIMMETRICO di Cauchy costituito dalle 6 componenti: $\sigma_{xx}, \sigma_{yy}, \sigma_{zz}, \tau_{xy}, \tau_{xz}, \tau_{yz}$



$$\overline{\sigma} = \begin{bmatrix} \sigma_x & \tau_{xy} & \tau_{xz} \\ \tau_{yx} & \sigma_y & \tau_{yz} \\ \tau_{zx} & \tau_{zy} & \sigma_z \end{bmatrix}$$

$$\overline{\sigma}_P = \begin{bmatrix} \sigma_1 & 0 & 0 \\ 0 & \sigma_2 & 0 \\ 0 & 0 & \sigma_3 \end{bmatrix}$$

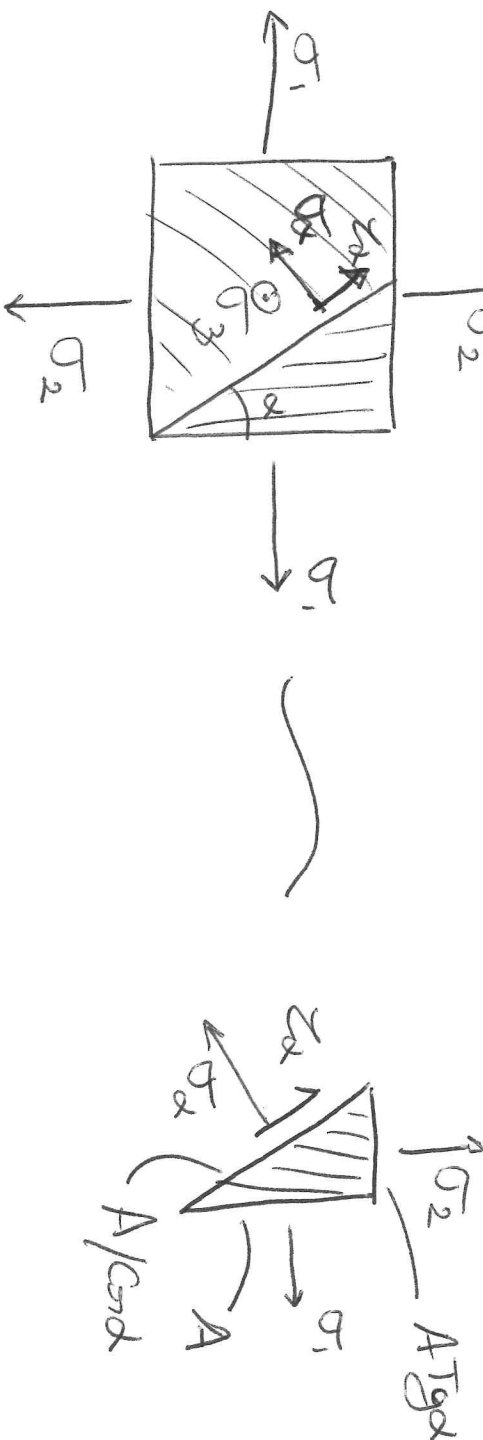
Twin principle

$$\boxed{\overline{\sigma}_P = R^T \overline{\sigma} R}$$

• R matrice contenente gli autovettori
di $\overline{\sigma}$

• $(\sigma_1, \sigma_2, \sigma_3)$ sono gli autovettori di $\overline{\sigma}$

4.1 RAPPRESENTAZIONE DELLO STATO DI TENSIONE (Mohr)



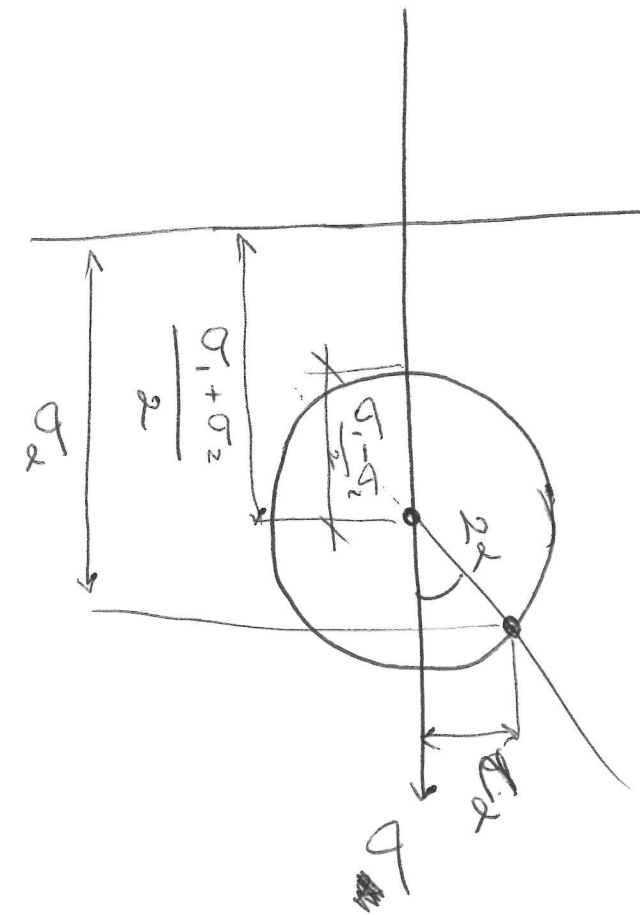
$$\begin{cases} \tau_\alpha = \frac{1}{2}(\sigma_1 - \sigma_2) \sin \alpha \\ \sigma_\alpha = \frac{1}{2}(\sigma_1 + \sigma_2) + \frac{1}{2}(\sigma_1 - \sigma_2) \cos \alpha \end{cases}$$

Sono espansioni polinomiali di una convergenza

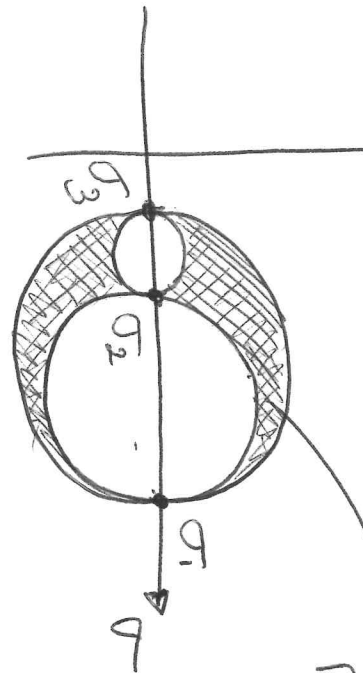
nel piano $(\sigma_\alpha, \tau_\alpha)$ con centro $C = (\frac{\sigma_1 + \sigma_2}{2}, 0)$

$$e \text{ oggi } R = \frac{\sigma_1 - \sigma_2}{2}$$

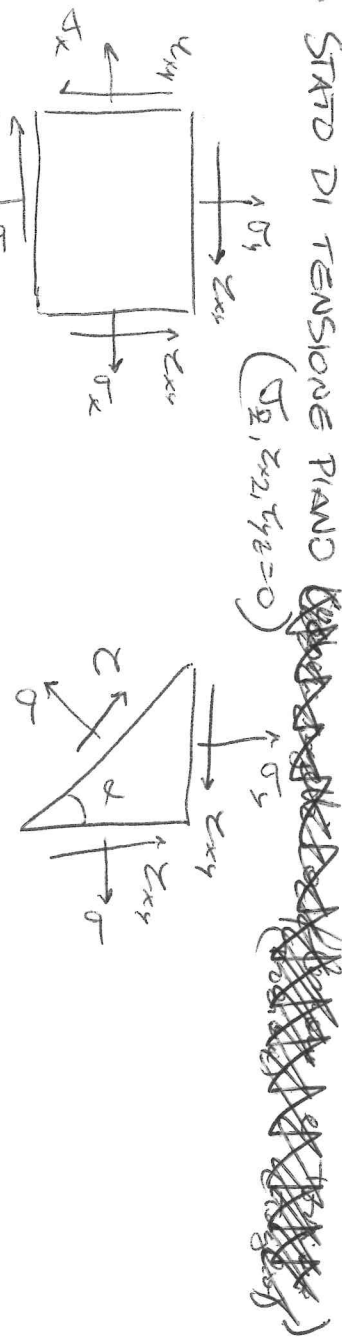
Σ



Se riferisco al Conto in tutte le direzioni stessa



• STATO DI TENSIONE PIANO ($\tau_{xy} = \tau_{yz} = \tau_{xz} = 0$)



$$\sigma = \frac{\sigma_x + \sigma_y}{2} + \frac{\sigma_x - \sigma_y}{2} \cos 2\alpha + \tau_{xy} \cos 2\alpha$$

$\frac{d\sigma}{d\alpha} = 0 \rightarrow$ Tensione per tensioni principali

$$\frac{d\sigma}{d\alpha} = 0 \rightarrow \sigma_x = \sigma_y \text{ Max tensione Tensione}$$

$$\sigma_1, \sigma_2 = \frac{\sigma_x + \sigma_y}{2} \pm \sqrt{\left(\frac{\sigma_x - \sigma_y}{2}\right)^2 + \tau_{xy}^2}$$

$$\sigma_1, \sigma_2 = \frac{\sigma_x + \sigma_y}{2} \pm \sqrt{\left(\frac{\sigma_x - \sigma_y}{2}\right)^2 + \tau_{xy}^2}$$

prime che sono stabilite le dimensioni di un componente.
Le scelte di un materiale può essere basate a diverse

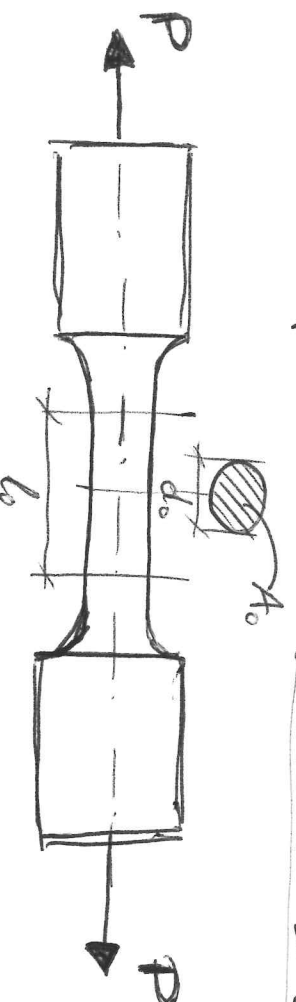
origini: - meccaniche (resistenza strutturale, rigidità, etc.)

- termiche (resistenza a $T \uparrow \downarrow$, etc.)
- chimiche (corrosione, etc.)

Nel momento in cui la scelta di un materiale viene fatta ~~per~~
allo scopo di resistere strutturalmente è importante considerare l'effetto
materiale sulla base di alcune prove standard:

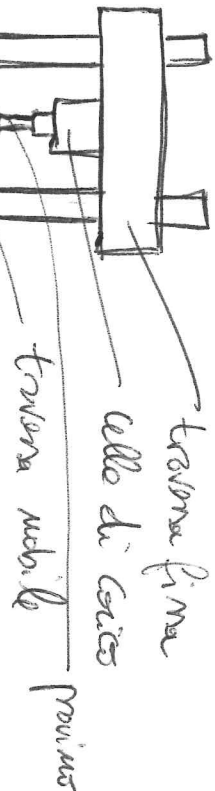
12.1 PROVA DI TRASIZIONE

È una delle prove più utilizzate per avere informazioni sulle
materie. Si utilizzano provini notati (ASTM E8 e E-8M).

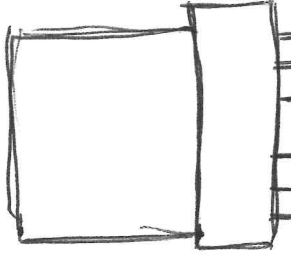


prova di
trazione

I primi veri provi sono stati usati nella metallurgia (tipicamente neuroidistica)
per avere testi in controllo di spostamento.



strumento



Tipicamente delle prove vengono ricavate le grandezze di:

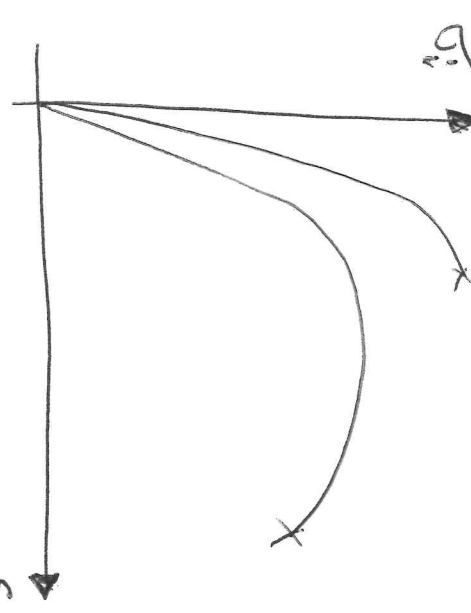
- Clico (P)

- Lettura dell'estensometro (ϵ)

In input alla macchina viene dato un spettrometro controllato (μ) della trave nubile ed una velocità molto bassa ($\approx 0.1 \text{ mm/s}$)



materiali
notenoli
duttili



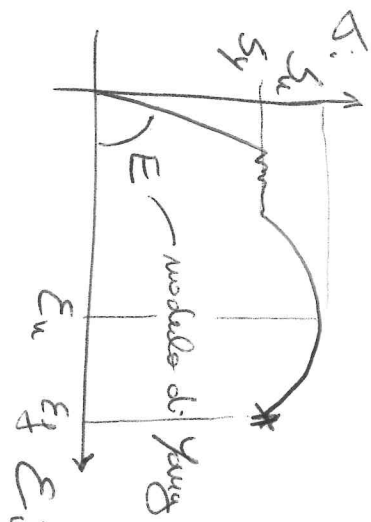
$$\sigma_i = \frac{P}{A_0}$$

$$\epsilon_i = \frac{l - l_0}{l_0} = \frac{\Delta l}{l_0}$$

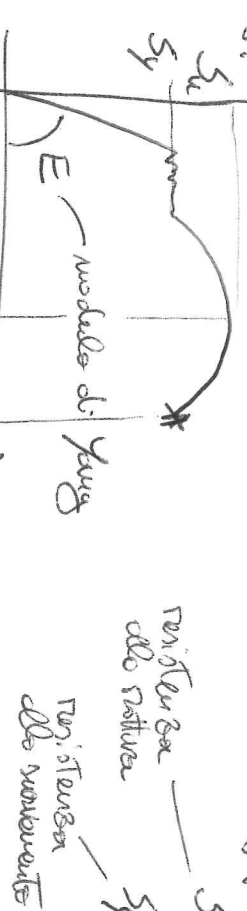
grandezze ingegneristiche

! I notenoli duttili presentano componenti differenti in prossimità delle perdite di resistenza

ACCIAIO BASSO CONTENUTO DI CARBONIO



ACCIAIO LEGATO



At 0.2% deformation plastic render

rende

! La resistenza è una proprietà intrinseca del notenolo e non riguarda veramente con S (e.g. S_y , S_u) mentre la tensione è il risultato di uno stato di sollecitazione e viene indicata nel seguito con σ

Nelle realtà ciò che si trova guardando la σ_i e ϵ_i non è lo stato di tensione nel materiale, ma uno hypothetico oggetto che siamo investigando (i.e. provino). Nelle realtà l'area del provino varia durante il test e questo porta ad uno stato tensionale nel materiale diverso da (σ_i, ϵ_i) .

$$\sigma_R = \frac{P}{A}$$

$$\epsilon_R = \int_{l_0}^l \frac{dl}{L} = \ln \frac{l}{l_0}$$

area reale

del provino

c'è modo di legare le grandezze (σ_i, ϵ_i) con (σ_R, ϵ_R) tramite l'ipotesi di conservazione del volume.

LINEARE ELASTICA

NO CONSERVAZIONE
DEL VOLUME

↳ Legge elastica
Nuovi allungati estensivamente
quindi diminuisce il volume

PLASTICA
SI CONSERVAZIONE
DEL VOLUME

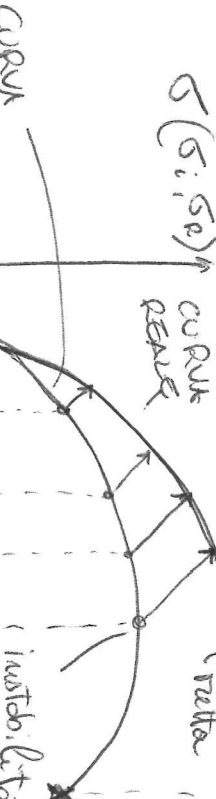
↳ durante df. plastica ha una ridotta porosità e quindi il volume si conserva

CONSERVAZIONE DEL VOLUME $\rightarrow A \cdot l = A_0 \cdot l_0 \rightarrow A_0 = \frac{A}{l} = \frac{l_0}{l}$

$$\boxed{\epsilon_R = \ln(1 + \epsilon_i)}$$

$$\sigma_R = \frac{P}{A} \cdot \frac{A_0}{A} = \frac{P}{A_0} \cdot \frac{A_0}{A} = \sigma_i \cdot \frac{l_0}{l} \Rightarrow \boxed{\sigma_R = \sigma_i (1 + \epsilon_i)}$$

correlazione



a più $\epsilon_i \rightarrow \epsilon_R < \epsilon_i$

$\sigma_R > \sigma_i$

**! Nell'utilizzo del ferro si ottiene utilizzare le curve vere
in quanto voglio dare le proprietà del materiale e non le
proprietà del componente!**

Al contrario in progettazione si userà le proprietà di resistenza
ricavate dalle prove meccaniche in quanto hanno un valore
noto (un giusto coefficiente di sicurezza intreccio).

(4.2.2) PROVA DI DUREZZA

DUREZZA = resistenza di un materiale in appiattimento alle pressioni di
un elemento di materiale più duro.

Prove:

- BRINELL
- VICKERS
- KNOOP

→ minima dimensione dell'impronta

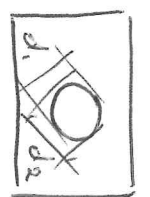
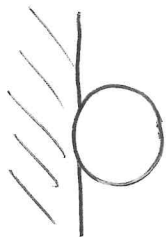
(ASTM E-38)- Rockwell

- Shore

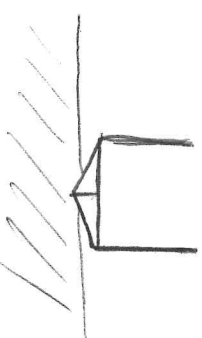
→ minimo profondore del penetratore

La differenza risiede nella geometria dei penetratori e nella prova
imposta.

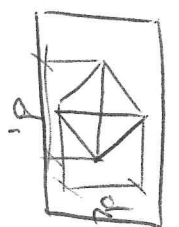
BRINELL



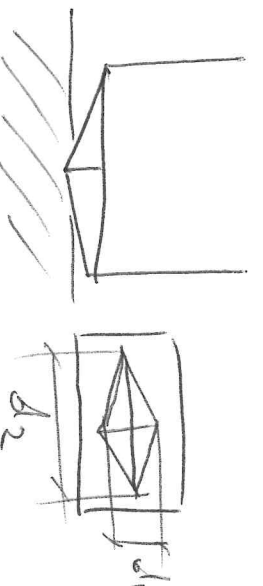
VICKERS



Rockwell

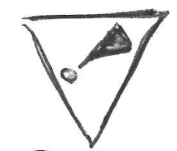


KNOOP



SHORE





I risultati delle prove di durezza sono ora leggi
l'impilamento alla resistenza a fatica S_u .

ACCIAI

$$S_u = 3.4 H_B \text{ (MPa)}$$

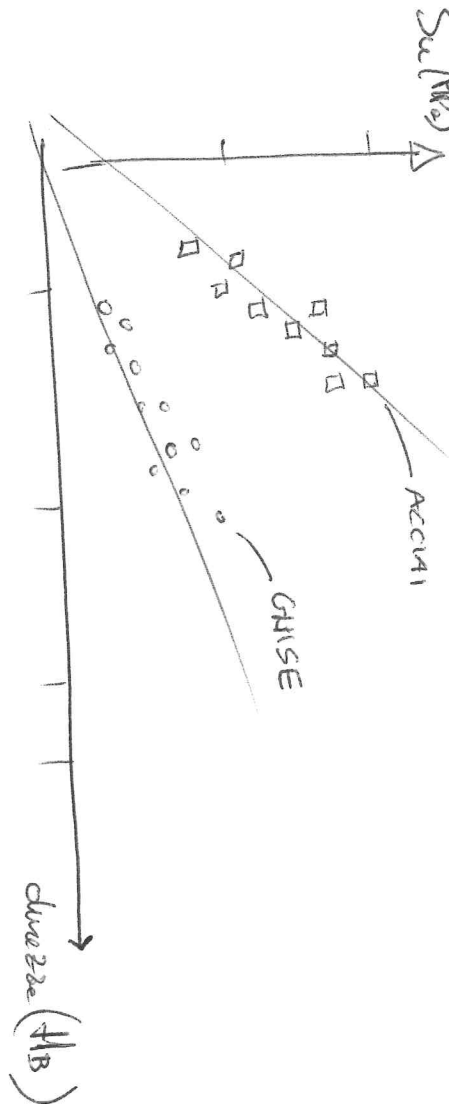
ASTM

GHISE

$$S_u = 1.58 H_B - 86 \text{ (MPa)}$$

$$S_u = 0.2375 H_B - 180 \text{ (MPa)}] \text{ SAE}$$

Come ottenere tali leggi empiriche? Con esperimenti in laboratorio



(12.3) PROVE DI RESILIENZA

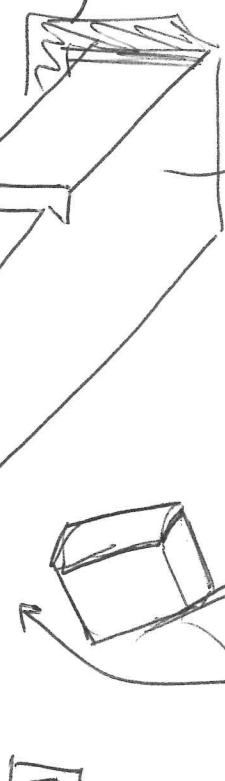
RESILIENZA = tolleranza del materiale a resistere a colpi impulsi tipicamente questo tipo di prova viene eseguita con prove Standard, la più nota è la prova CHARPY (UNI EN 10045).

Provare indibilità da intaglio

Mozzo con

Lungo la pietraia e
Cinetica

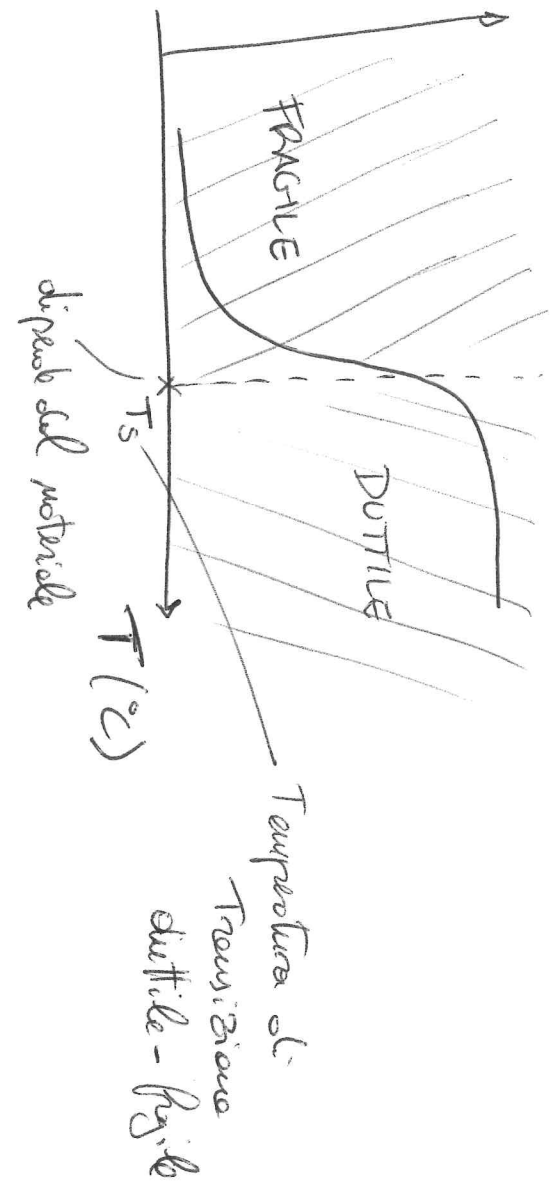
Opposte alle
orientazioni



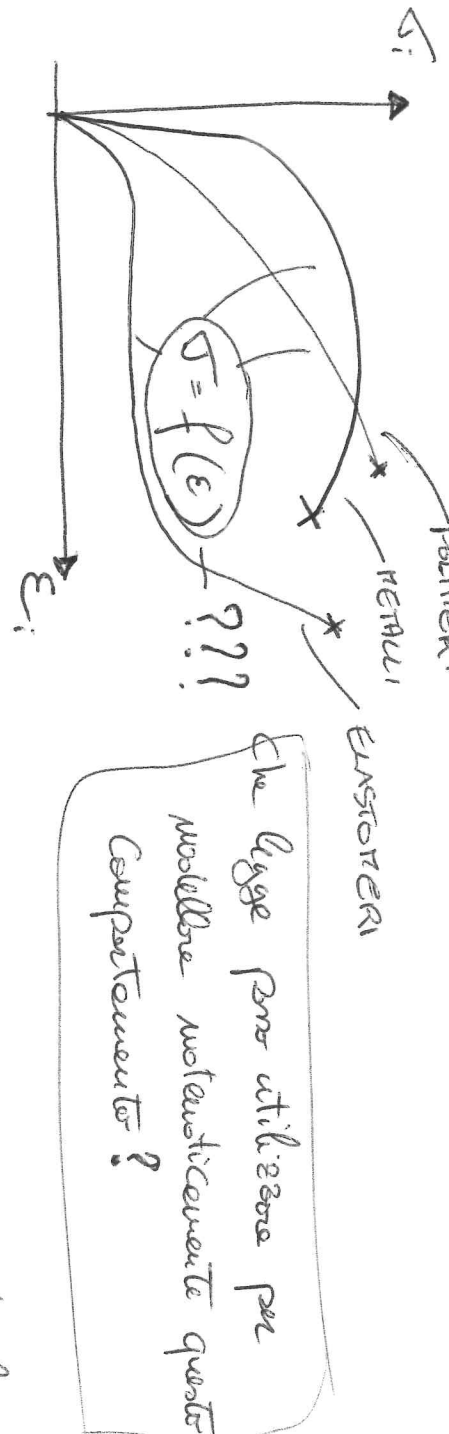
[RESILIENZA]

↳ energie per la
deformazione e rotura
del primario

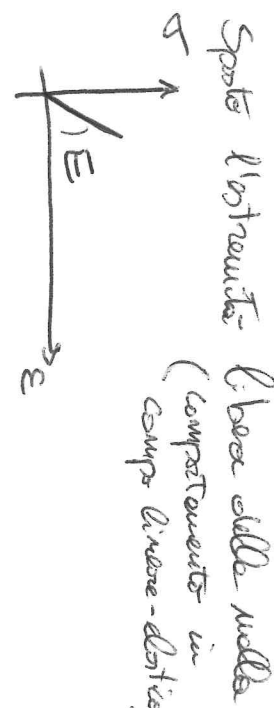
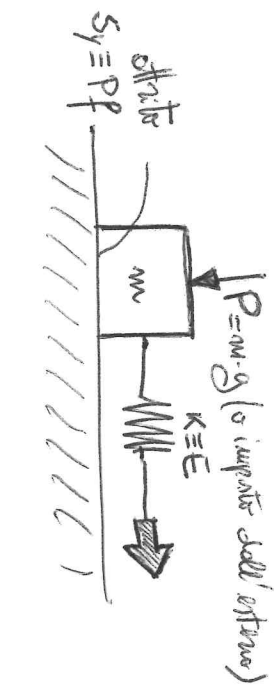
Se le pressioni viene fatte per diverse T



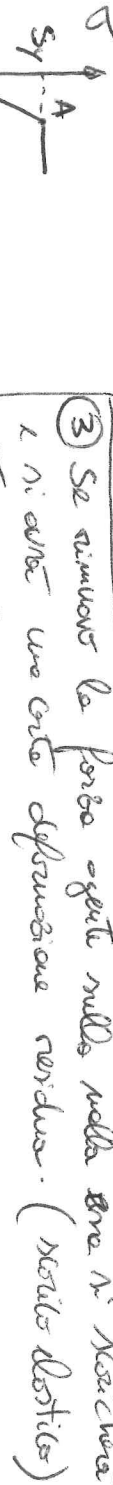
13 MODELLI GELOGICI (ELASTICO-PERFETTAMENTE PLASTICO)



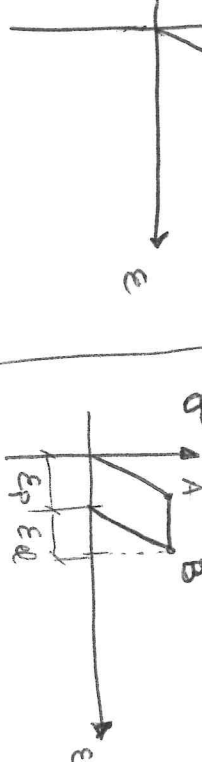
Io modello meccanico elementare viene introdotto per modellare materiali metallici (tipicamente acciai) soggetti a forze difformazioni plastiche e un modo di simularne meccanicamente questo modello è tramite:



② Sposto in certe sollecitazioni (finito elastico) il secondo elemento viene con costante (comportamento plastico)



③ Se rimuovo la forza -genti nulla nella zona n° 2 si ricorda che non c'è una certa deformazione residua. (modo elastico)



4

Ross osservare lo spostamento applicando una prova di vers spostato nello nello
(Comportamento dello nello rappresentato con
"Tensione residua")



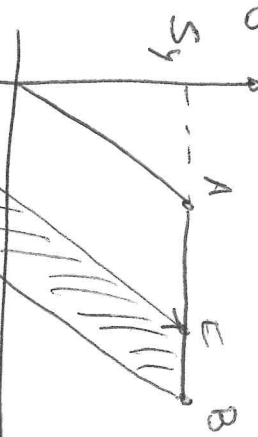
5 A questo punto riapplicando il carico si
ottiene del punto C e finché non

si supera un certo limite di "adattamento"
(SUNKED DOWN) si noteranno le comportate

elasticamente.

L'utile massimo per rimanere in "SUNKED DOWN ELASTICO"!

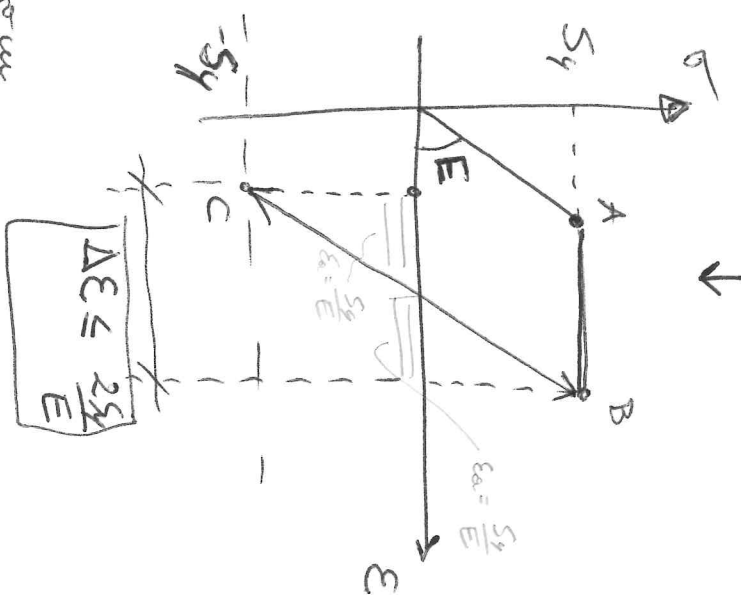
Mi metto nella Condizione limite



L'area compresa
delle estensioni
plastiche dimostra
in calore

Se supero il limite ottengono

CICLO DI STRESSESI IN CARICO PLASTICO



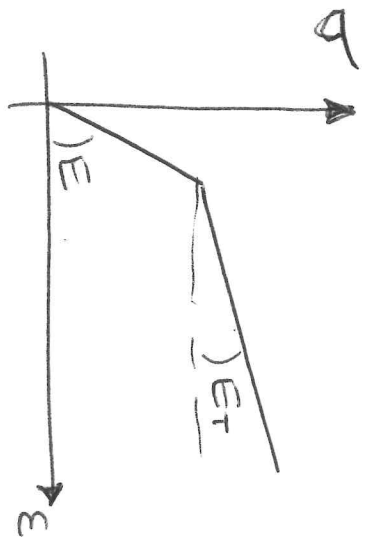
$$\Delta \epsilon \leq \frac{2 S_y}{E}$$



Quoto è un modello molto semplificato che non tiene conto di diversi
componenti, il più importante dei quali è l'INCREDIMENTO

Breve presentazione di altri modelli esistenti:

+ MODELLO RICOGNITI PLASTICO LINEARMENTE INCRIMENTALE



+ LEGGE DI RAMBERG - OSGOOD

$$\epsilon = \frac{\sigma}{E} + K \left(\frac{\sigma}{E} \right)^n$$

• Modello notevolmente continuo

• Modello di incremento

• K e n sono costanti del materiale

che viene tolto nello stato di esercizio

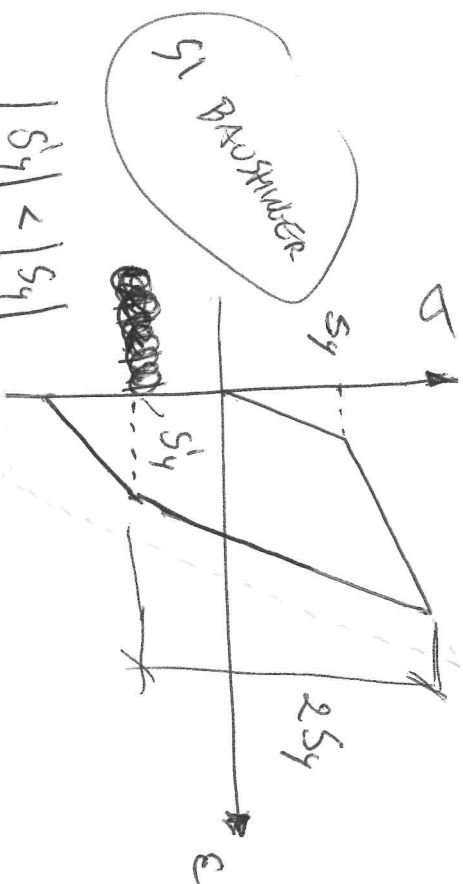
Spontaneamente

+ EFFETTO BAUSCHINGER

Modello di incremento "lineare" o "cinegetico".

Bauschinger ha osservato che la deformazione plastica in un dato verso riduce il limite di resistenza nel verso opposto.

E.g. wenn modello regolare plastico-linearemente incrementale



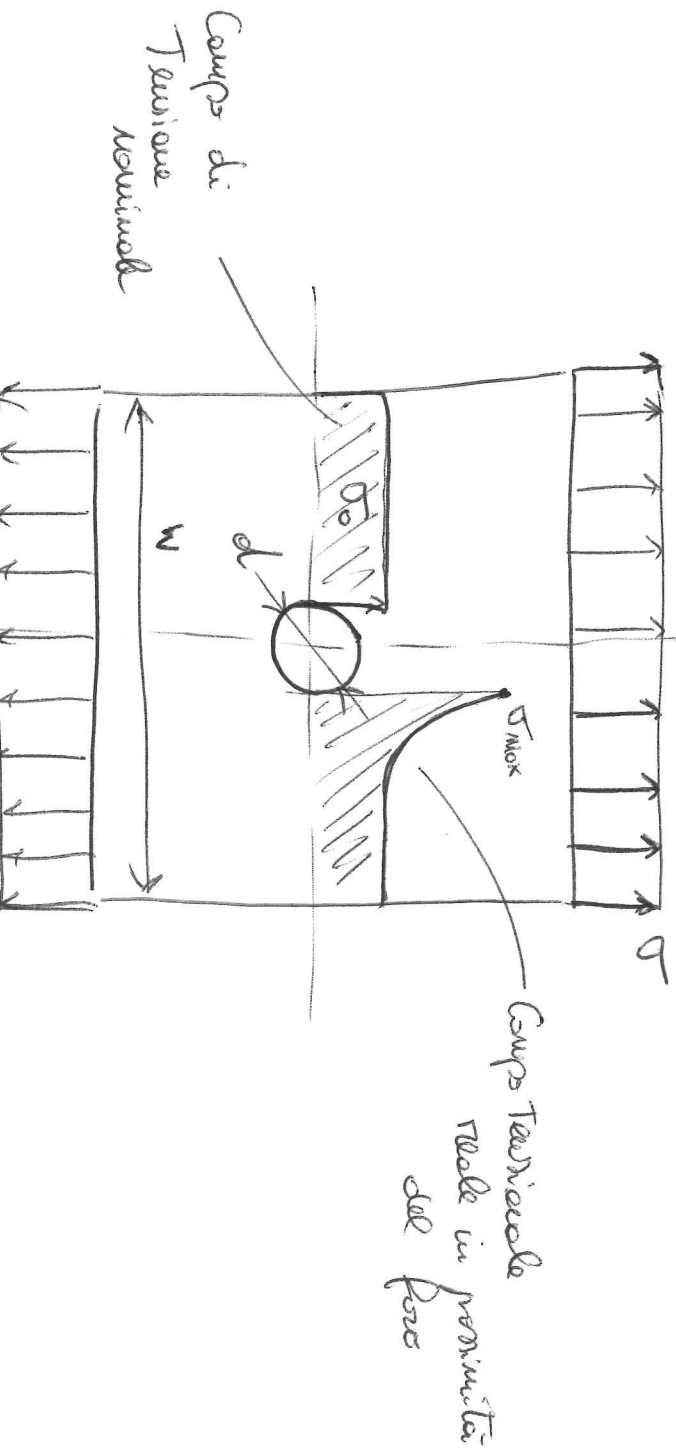
(14)

CONCENTRAZIONE DELLE TENSIONI

Una qualsiasi discontinuità (e.g. geometrica, materiali, etc.) modifica la distribuzione delle tensioni nelle "vicinanze" della discontinuità.

Equazioni elementari delle tensioni (e.g. teorie delle travi) non prendono più davvero le stesse tensioni in quelle zone.

~~Se le discontinuità è geometrica~~: Se le discontinuità è geometrica tale zone sono chiamate INTACCI o AREE DI CONCENTRAZIONE DI TENSIONE.



! Definizione di Tensione nominale non è univoca, in questo caso può essere sia σ (Tensione Gross) o σ_0 (Tensione Net) (strettamente connesse le fonti).

Se fissa le concentrazioni delle tensioni viene usato per mettere in relazione tensione nominale e tensione nominale

$$K_t = \frac{\sigma_{\max}}{\sigma} \quad \sigma = K_t \cdot \sigma_{\text{nominale}}$$

$$\sigma_0 \text{ sono legate} \rightarrow \sigma_0 = \frac{F}{A}, \quad \sigma_0 = \frac{F}{A_0} \rightarrow F = \sigma A \rightarrow \sigma_0 = \sigma \frac{A}{A_0}$$

A K_t dipende solo dalla geometria e

Condizioni di Carga (No Materiale)

$$\boxed{\sigma_0 = \sigma \frac{w}{(w-d)}}$$

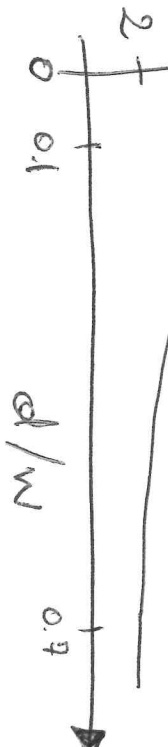
Come ricava il K_t ? Ci sono diverse tecniche che permettono che

numeriche:

- METODI DI GRIGIA
- METODO VERRICI FACCIAU
- TECNICHE ESTENSOMETRICHE
- ELEMENTI FINITI

Nota: il problema è
che la resistenza dipende
dalle "infissioni" di
una certa grandezza

Tipicamente si trovano già tabellati le nuove (e.g. Juvimell)



⑯

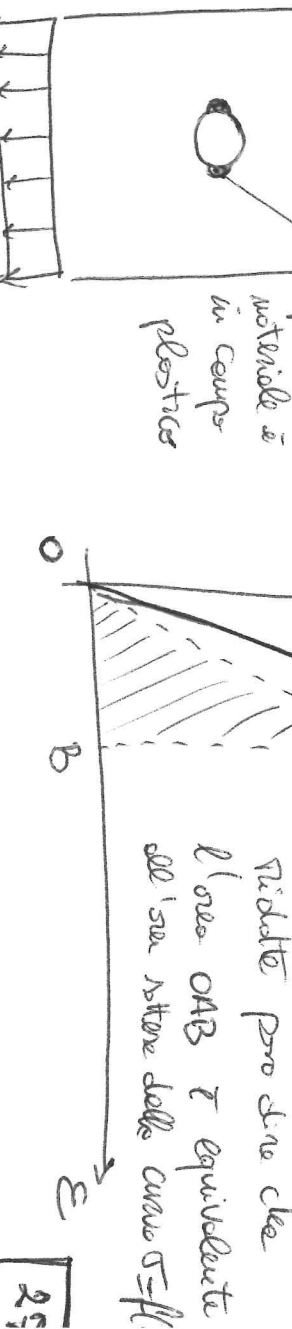
DEFORMAZIONE PLASTICA NEGLI INTACI - CRITERIO DI NEUBER

Se prosegue il carico plastico da un dato estensione i picchi di tensione non solo crescono ma in effetto minore che riduzione di E determina deformazioni maggiori di quelle elastiche.

Fintanto che le deformazioni plastiche in gioco sono piccole però neanche questo valgono non lineare periodo dai risultati sull'elasticità lineare. → NEUBER



caso di
potendo dare
motricità a
in campo
plastico



In condizioni di deformazione
ridotte presso che
il vco OAB è equivalente
se si mette sotto la curva σ = f(ε)

$$dU_e = dU_p$$

$$\frac{1}{2} \sigma_{max,e} \epsilon_{max,e} dV = \frac{1}{2} \sigma_{max} \epsilon_{max} dV$$

~~Kotn~~ $K_e \epsilon_m = \sigma_{max} \epsilon_{max}$

$$\left(\frac{K_e^2 \sigma_m^2}{E} \right) = \sigma_{max} \epsilon_{max} \rightarrow \boxed{\sigma_{max} = C \frac{1}{\epsilon_{max}}}$$

l'equazione



$$\sigma \epsilon = \frac{K_e^2 \sigma_m^2}{E}$$

IPERBOLE

Ma rimane un problema in due incognite σ_{max} e ϵ_{max} , bisogna di definire una o definire la legge che le lega.

Pensavo modelli regologici di notevole importanza per l'analisi plastica

$$\begin{cases} \sigma \epsilon = \frac{K_e^2 \sigma_m^2}{E} \\ \sigma = S_y \quad (\text{in condizioni di plasticità}) \end{cases} \rightarrow \boxed{\epsilon_{max} = \frac{K_e^2 \sigma_m^2}{S_y E}}$$

ESERCITAZIONE 2

(16) CRITERI DI RESISTENZA STATICI

Servono per poter definire dei valori critici per identificare i danni meccanici di questi in un componente. I criteri più solletti sono rispetto al comportamento strutturale del materiale stesso:

Materiale DURALE → nell'esperienza.

Materiale specifico per materiali metallici: le modalità di guasto in dimensione ripetuto e comportamento strutturale del materiale stesso: DURALE FRAGILE

Materiale DURALE → • Allungamento percentuale a rotture $\epsilon_f \geq 0.05$

(3)

Materiale FRAGILE → • Allungamento percentuale a rotture $\epsilon_f < 0.05$

(Su)

Criteri di resistenza corrispondente accettati:

- Tensione Tangenziale minima (TTM) crescente
- Energia di Distorsione (ED) crescente
- Mohr - Coulomb Dentile (MCD)

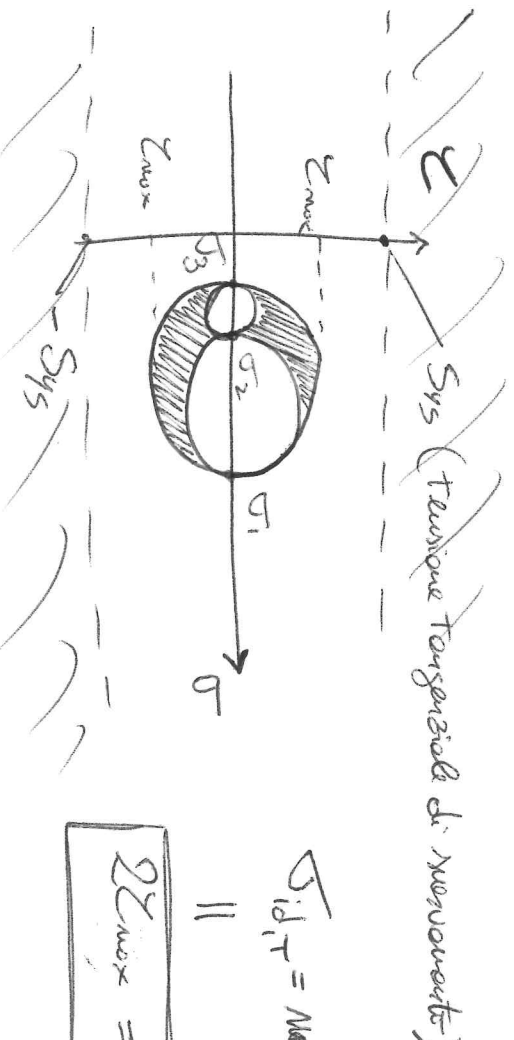
Minima Tensione Normale (MTN)

Mohr - Coulomb Fragile (MCF)

Mohr - Coulomb Modificata (MC^{MT})

ROTURE FRAGILI

16.1 TTM e Tracce



S_y (tensione tangenziale di avvertimento)

$$\sigma_{id,T} = \max(|\sigma_1 - S_y|, |\sigma_2 - S_y|, |\sigma_3 - S_y|)$$

||

S_y

$$2S_{max} = S_y$$

⚠ True soggetto a flessione (Torsione) $\sigma_{id,T} = \sqrt{\sigma_x^2 + 4\sigma_{xy}^2}$ [PAG.19]

• La Tensione (Toglio)

(46.2) ED e Von-Mises

$$\sigma_{id,M} = \frac{1}{\sqrt{2}} \sqrt{(\sigma_1 - \sigma_2)^2 + (\sigma_2 - \sigma_3)^2 + (\sigma_3 - \sigma_1)^2} = S_y$$

Tensione Tangenziale OTTAEDRICA

Energia di distorsione

Δ Trova soggetto a flessione (torsione) e a Torsione (taglio)

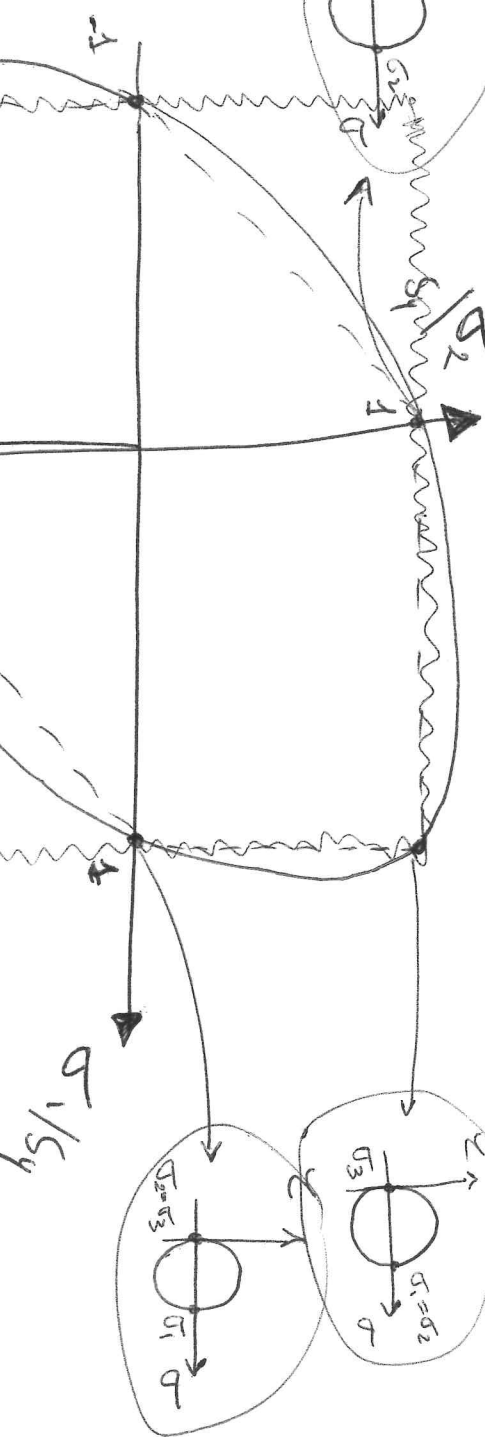
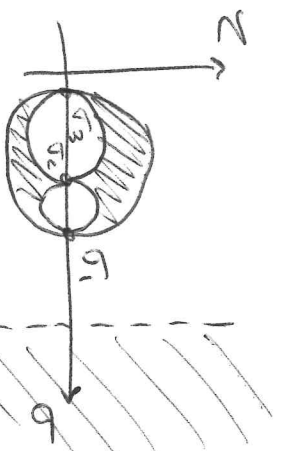
$$\sigma_{id,T} = \sqrt{\sigma_x^2 + 3\epsilon_{xy}^2}$$

$$\sigma_{id,M} = \frac{1}{\sqrt{2}} \sqrt{(\sigma_x - \sigma_y)^2 + (\sigma_y - \sigma_z)^2 + (\sigma_z - \sigma_x)^2 + 6(\epsilon_{xy}^2 + \epsilon_{xz}^2 + \epsilon_{yz}^2)}$$

(46.3) MTN o Galler-Rankine

$$\sigma_{id,GR} = \max |\sigma_1, \sigma_2, \sigma_3| = S_u$$

• Confronto tra i criteri menzionati per valutazione di sicurezza bimodale



--- Tresca
— Von Mises
wavy Rankine

19 RESISTENZA A FATICA

ROTTURE STATICHE



- Determinate da forti deformazioni plastiche
- Cambiamento generale della struttura

PREVEDIBILI!

- ROTTURE A FATICA
- ↓
- Determinate da carichi di sotto del limite di rottura
 - Fenomeni localizzati
 - Non prevedibili!
- (improvise e totali)

A differenza delle progettazione statica quella a fatica è un ambito recente di studio. I primi lavori sono databili a circa il 1850 relativamente agli studi di Albert Wöhler sugli ond. ferroviari. Nel tempo molti studiosi hanno studiato la rotura per fatica tra i più famosi di primis ricordare:

- onile ferrovio (Versilia, 1812)
- Novi Liberty (1913)
- olen de Havilland Comet (1954)
- Piattofreno petroliifero Källand (1980)
- incidenti D739 (Alfa, 1988)
- incidenti ferroviari (Enchede, 1998)
- " " (Viareggio, 2009)

Ricerca google!

]

]

19.1 FENOMENOLOGIA DELLA ROTURA A FATICA

La rotura a fatica è costituita da 3 studi:

- INIZIALIZZAZIONE DI UN MICROBUCCIO → si crea a causa delle deformazioni plastiche cicliche e metastabile fino

a 3-10 gradi e diventano nociviche

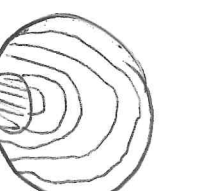
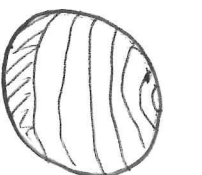
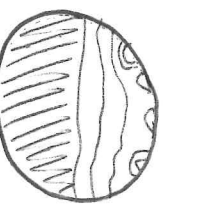
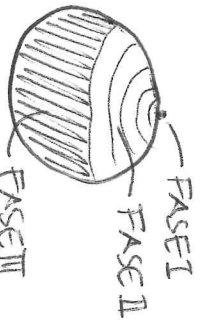
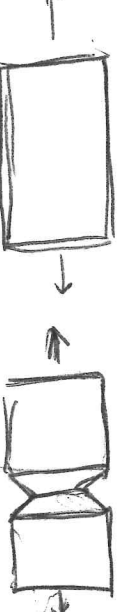
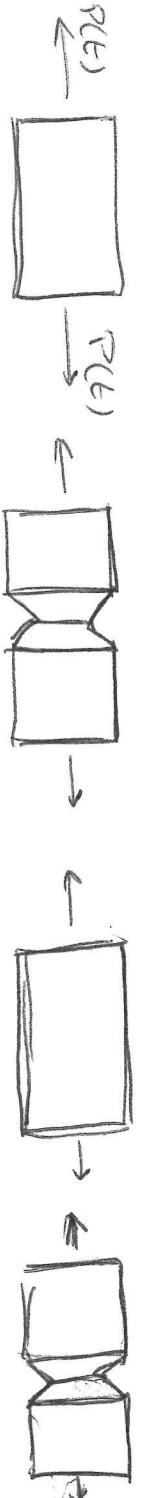
in direzione ruolo di crico applicato (dipende solo su
In questo fase si creano le "LINES DI SPACIO"

- ROTURA DI SCARICO → la resistenza del materiale non vale più esistente

a. come a cui è sottoposto il componente si

trivello varco nominale

varco varco nominale

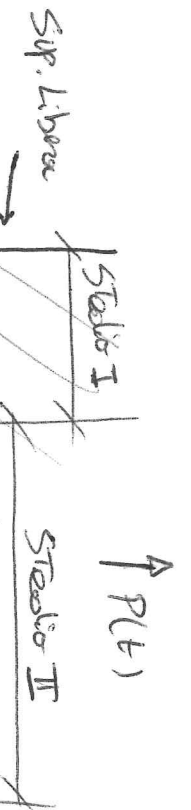


- Nucleazione da un unico punto
- grotta superficie di schianto

- Più punti di nucleazione
- grotta superficie di schianto

- nucleazione unico punto
- piccole sp. di schianto

- più nucleazioni
- piccole sp. di schianto



- Def. plastica molto localizzata
- Tongue numero limitato di legni stonici
- Coda movimento delle distorsioni
 - tipicamente i piu' che si chiudono
 - Minori lunghezza non quelli lungo la direzione di minima taglio (τ_{max})



Non è detto che le cellule nuclei nella

Nap. libere non coincida con nella maggior parte dei casi:

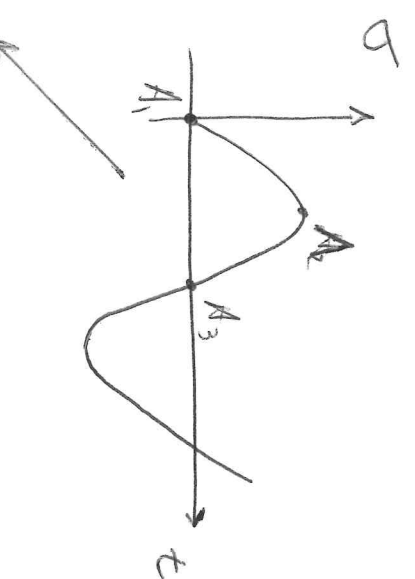
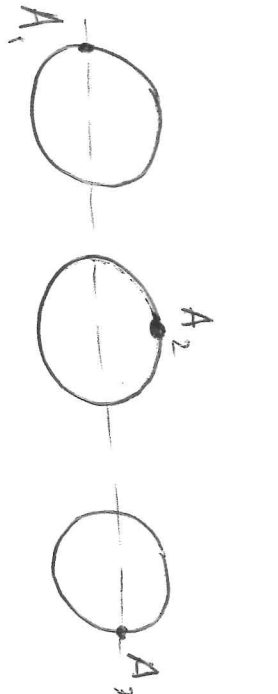
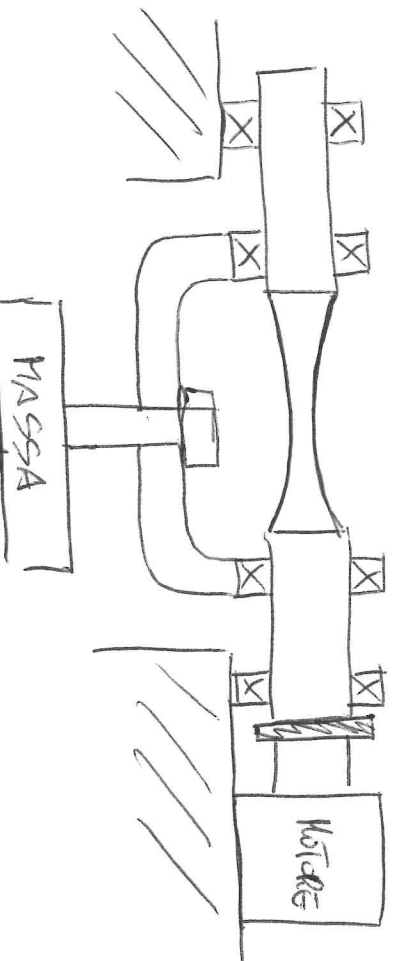
- corchi più elevati
- concentrazioni delle tensioni sono spesso in nap.
- o contatto con oggetti considerato e corronvi.

METODI DI PROGETTAZIONE A FATICA

FATICA AD AUTO NUMERO DI CICLI

Per soluzioni la resistenza a fatica vengono tipicamente eseguite prove in ambienti controllati (seguito pressuristico). Tra le molte prove distintive per testare un componente a fatica le più note è la prova di fatica a Flessione Rotante.

MACHIN DI MOORE



$$\sigma_a = \frac{\sigma_{max} - \sigma_{min}}{2}$$

$$\sigma_m = \frac{\sigma_{max} + \sigma_{min}}{2}$$

$$f_{min} = \frac{1}{T} = \frac{1}{\pi} \sqrt{\frac{2}{\sigma_m^2 - \sigma_a^2}}$$

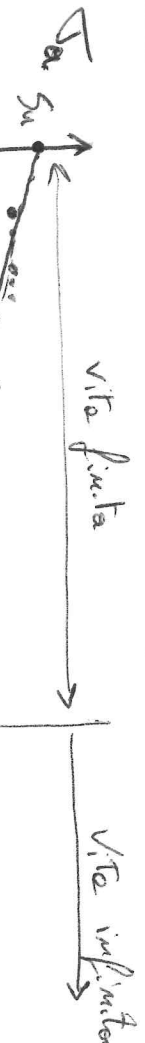
$$f_{max} = \frac{1}{T} = \frac{1}{\pi} \sqrt{\frac{2}{\sigma_m^2 + \sigma_a^2}}$$

Dopo avere eseguito una serie di prove si ottiene i risultati riportati in un grafico come quello mostrato sotto:

DIAGRAMMA S-N

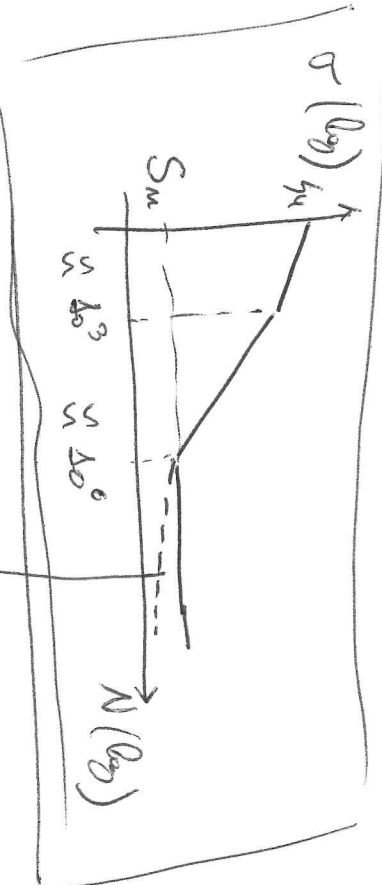


Attenzione! Non basta di mettere Test se Causa delle rotture strutturali del funziona



Il diagramma viene tipicamente rappresentato in coordinate dopo logaritmiche

Curva S-N
WÖHLER



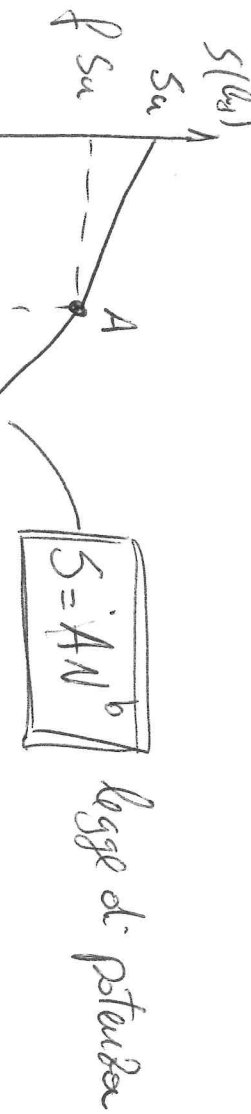
LIMITE A FATICA

- Esiste negli acciai perché soliti essere corrotti o sbotti. Il loro limite di distorsione è ben conosciuto.

- Non esiste in leghe di alluminio o nei ferri in genere

19.2.2

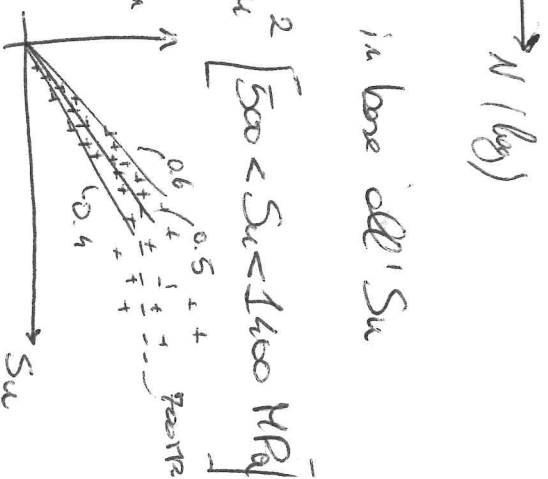
CURVA SN SEMIPLICATA (ACCIAI)



A → Ci sono leggi per ricevere il valore di f in base all' S_m

$$f = 1.06 - 4.1 \cdot 10^{-4} S_m + 1.5 \cdot 10^{-9} S_m^2 \quad [500 < S_m < 1400 \text{ MPa}]$$

$$\textcircled{B} \rightarrow S_m^i = \begin{cases} 0.5 S_m & S_m \leq 1400 \text{ MPa} \\ 400 \text{ MPa} & S_m > 1400 \text{ MPa} \end{cases}$$



A → Leggi proposte non comprendono la legge di esponente di molti dati
con lunga scatta quindi non sono indicative per un progetto

Pono quindi ricavare le leggi nette che collegano due punti A e B
ipotizzando legge dotta da una legge di potenza.

Legge di BASQUIN

$$S = A N^b$$

$$\text{condizioni iniziali: } \rightarrow A \left(10^3, f_{\text{Su}} \right)$$

$$B \left(10^6, S_m^i \right)$$

$$A = \frac{\left(f_{\text{Su}} \right)^2}{S_m^i}, \quad B = -\frac{1}{3} \log \left(\frac{f_{\text{Su}}}{S_m^i} \right)$$

Quindi dato uno $S = \sigma_a \rightarrow N_f = \left(\frac{\sigma_a}{N} \right)^{1/b}$

$$N_f = \left(\frac{\sigma_a}{N} \right)^{1/b}$$

19.2.2

FATTORI CHE MODIFICANO IL LIMITE A FATICA

- Percezione delle prove a fatiga su materiali di geometria controllata ed utilizzare le relative curve su componenti di macchia è inadatto!
- Ci sono fattori che modificano molto il limite a fatiga:

- MATERIALE → visibilità nella composizione

- FABBRICAZIONE → visibilità metalli, trattamenti, tenuta e superficie, etc.

- CONDIZIONI DI LAVORO → condiz., temperatura, stato tensionale, etc.

- PROGETTO → diverse dimensioni, forma, concentrazione tensioni, etc.

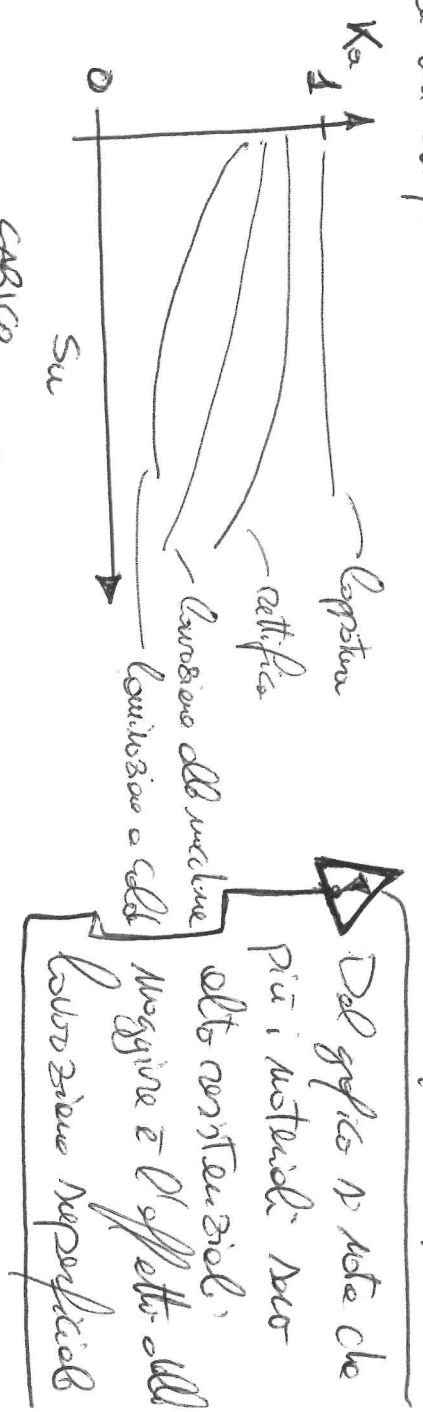
$$S_u = K_a K_b K_c K_d K_e K_f S_u'$$

FORMULA DI MARIN

L'unità è σ_{fatt}
del materiale reale

④ FATTORE DI SUPERFICIE (K_a)

Sup. di un componente non è mai nelle stesse condizioni di quelle del provino



④ FATTORE DI CARICO (K_b)

Se il carico componente è sottoposto a carichi diversi

$$K_b = \begin{cases} 1.00 & \text{flessione} \\ 0.85 & \text{torsione} \\ 0.55 & \text{tensione - se obliqua, combinate} \end{cases}$$

lavorazione con dei pelli
che non danno tensione
equivalente

④ FATTORE DI AFFIDABILITÀ (K_c)

Fattore che tiene conto delle dispersioni sperimentali dei dati e fattore

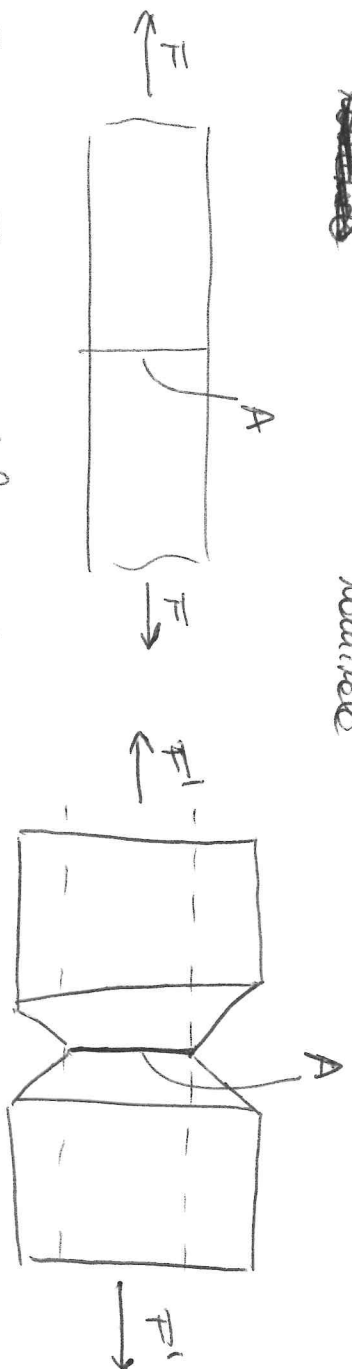
Affidabilità%	σ_a	K_c
50	0	1
30	1.288	0.859
33	2.326	0.814
:	:	:

19.2.4.3

Concentrazione delle tensioni e sensibilità all'intaglio
Sappiamo che le rotture a fatica non sono a fenomeni di intera flessione
locale, ciò può determinare maggiore integrità dei coefficienti:

~~$\sigma_{e,max} = K_c \cdot \sigma_{e,m}$~~

Tensione ottenuta ~~max~~ ^{integrale} Tensione di fondo
~~max~~ ^{integrale} nominale



Si è visto sperimentalmente che $F' > F$

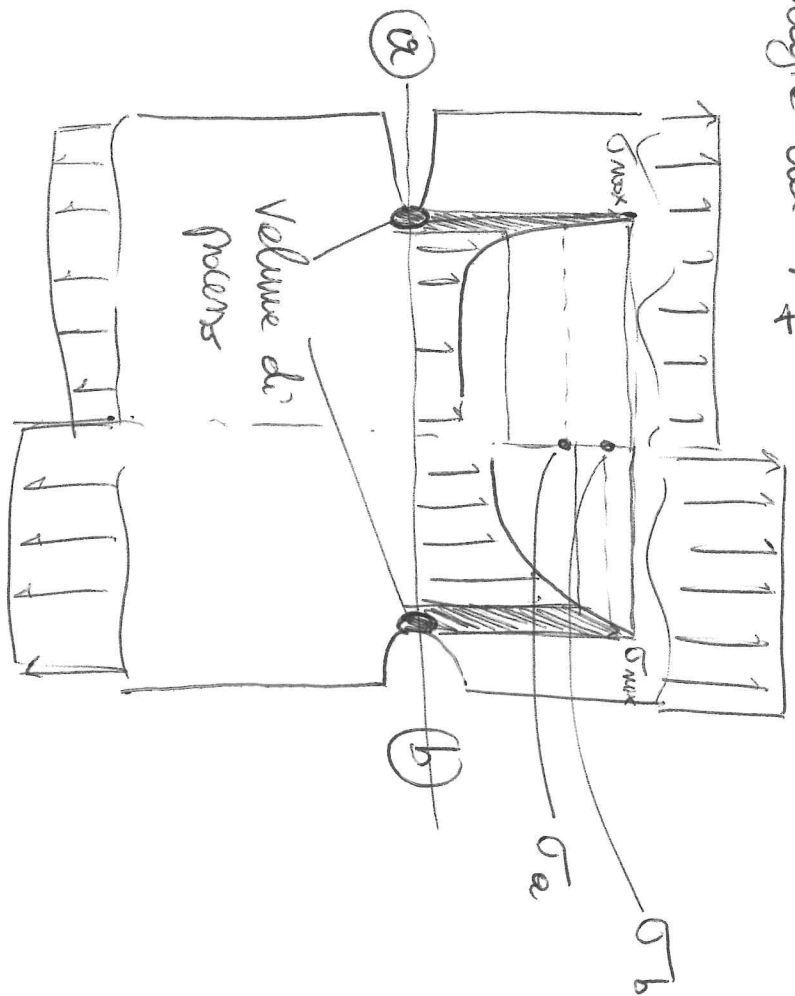
$$F' = \frac{A \sigma_{e,m}}{K_t} = A \frac{\sigma_{e,max}}{K_t} = A \frac{S_m}{K_t}$$

$$F = A \sigma_{e,m} = A S_m$$

D E R I V A Z I O N E C O E F F I C I E N T E D I C O N C E N T R A Z I O N E D E L L E T E N S I O N I A F A T C O

$$K_f = \frac{\text{Resistenza a fatica reale integra}}{\text{Resistenza a fatica con intaglio}} \leq \frac{F}{F'}$$

Fenomenologia del K_f



Se K_f è molto più dispendioso da collocare permanentemente perché è molto più lunga voltoza; limita a ptica rispetto a dei valori di tensione statica.

SOLUZIONI:

- ① Pone costantemente $K_f = K_e$ nel bene $1 \leq K_f \leq K_e$
- ② Voluta il fattore di sensibilità all'intaglio

$$q = \frac{K_f - 1}{K_e - 1} \rightarrow K_f = 1 + q(K_e - 1)$$

FORMULE

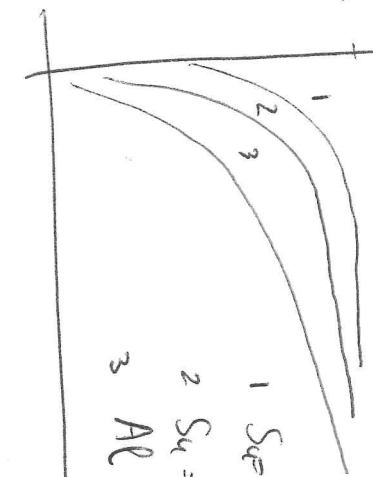
$$q = \frac{1}{1 + \frac{\alpha}{\pi}} \quad (\text{Petersu})$$

~~regola
integro~~

$$q = \frac{1}{1 + \sqrt{\frac{f_p}{\pi}}} \quad (\text{Neuber})$$

~~formule legate
d'ostacolo~~

GRAFICA



1 $S_u = 1200 \text{ MPa}$

2 $S_u = 800 \text{ MPa}$

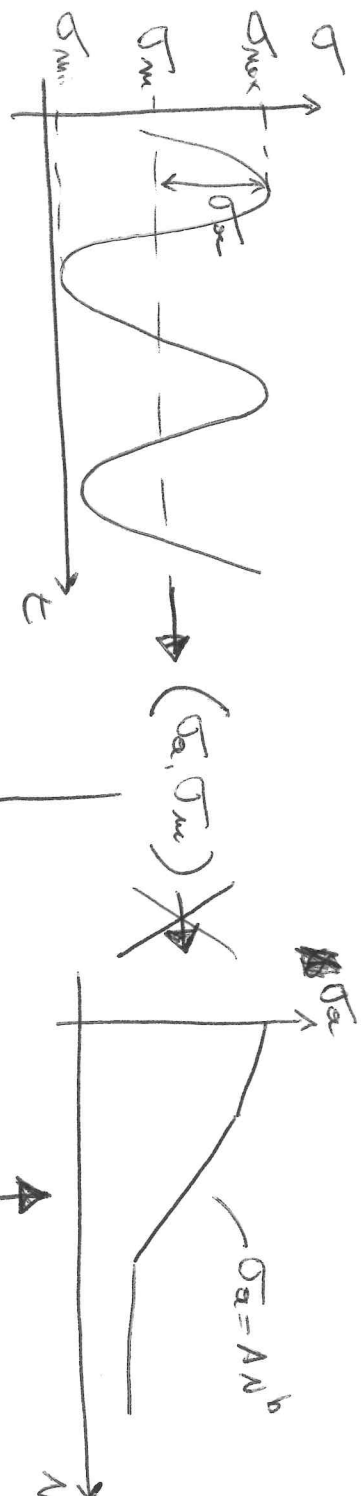
3 A_l

(19.2) Effetto della tensione media

Fisica obliqua visto come di fotica sperimentali o ricavate

Neutre ad $R=-1$ (neutro l'effetto di un $\sigma_m > 0$).

Se ovviamente siamo di conci con $\sigma_m > 0$ ovvero un problema con più probabile rispetto alle equazioni riduttive



Tra i criteri maggiormente utilizzati troviamo quelli formulati come segue:

$$\left(\frac{\sigma_a}{S_m}\right)^{n_a} + \left(\frac{\sigma_m}{S_{eq}}\right)^{n_b} = 1$$

risultante dinamica gerifica

$$\left(\frac{\sigma_a}{S_m}\right)^{n_a} + \left(\frac{\sigma_m}{S_{eq}}\right)^{n_b} = 1$$

risultante dinamica gerifica

GERBER	n_a	b	S_u		
				S_u	S_{eq}
Goodwin	1	1	S_u		
Soderberg	1	1	S_u		
Hoffman	1	1	$\sigma_p > S_u$		

Definisco lo $\sigma_{a,eq}$ che

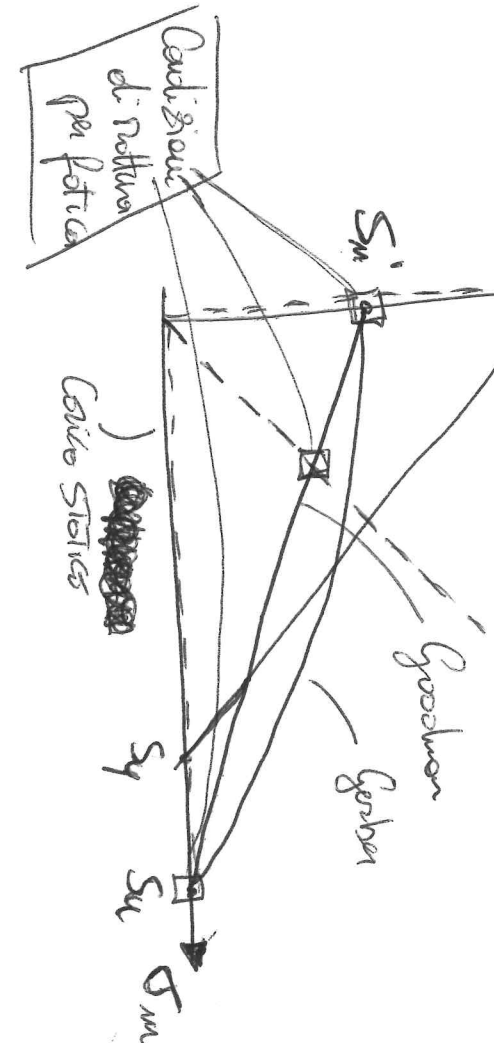
è l'equivalente del punto di vista delle

dureta (N) e i valori (σ_a, σ_m)

$$\rightarrow \frac{\sigma_a}{S_u} + \frac{\sigma_m}{S_u} = 1 \rightarrow S(N) = \sigma_{a,eq} = \frac{\sigma_a}{1 - \frac{\sigma_m}{S_u}}$$

σ_a $R=-1$ Condizione di Movimento Ciclico

σ_a $R=0$



19.2.5.c Sollecitazioni multiazziali affaticanti

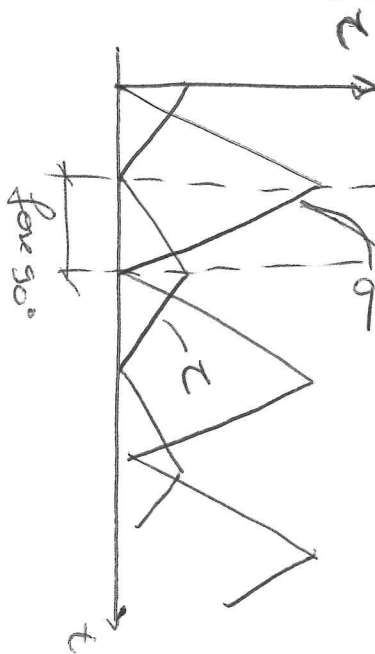
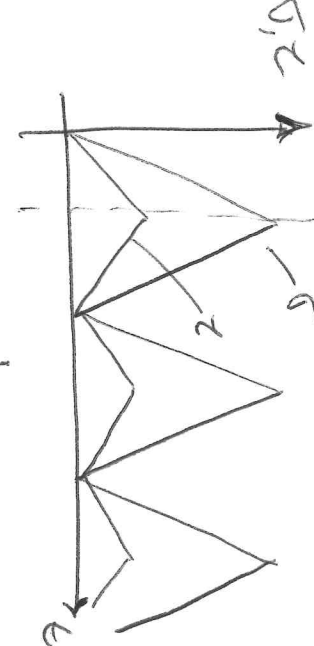
Tipicamente gli stati tensionali nei componenti meccanici sono non multiazziali. Ciò obbliga delle gerarchie di tensione che variano ($\sigma_{i,\alpha}, \sigma_{i,m}$)

Queste sono viste in fase (carico proporzionale) o fuori fase (carico non-proporzionale).

La direzione principale dell'azione principale non tangente all'asse di carico

proporzionale

$\sigma_{i,\alpha}$



fase 90°

Condizioni quota!



Per ottenere una grandeza di tensione $\sigma_{a,eq}$ i criteri statici devono risultare indipendenti.

Anci criteri:

- Gough - Pollard ($\sigma_{a,eq}$)

$$\left(\frac{\sigma_a}{S_m}\right)^2 + \left(\frac{\varepsilon_a}{S_{us}}\right)^2 = 1 \rightarrow \sigma_{a,GP} = \sqrt{\sigma_a^2 + H^2 \varepsilon_a^2}$$

Limite plastic
 Plastic limit
 Plastic
 Rotata

$$\text{dove } H = \frac{S_u}{S_{us}}$$

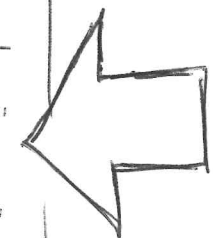


$$H=3 \quad GP = V_{us} H_{res}$$

- Dawling ($\sigma_{a,eq}$, $\sigma_{m,eq}$)

$$\sigma_{a,eq} = \frac{1}{\sqrt{2}} \sqrt{(\sigma_{1a} - \sigma_{2a})^2} \rightarrow \text{ver. H. res}$$

$$\sigma_{m,eq} = \sigma_{1m} + \sigma_{2m} + \sigma_{3m} \rightarrow \text{triplo componente idrostatica}$$



Da questo punto in poi si riporta un
criterio di tensione media o.g. Goodman

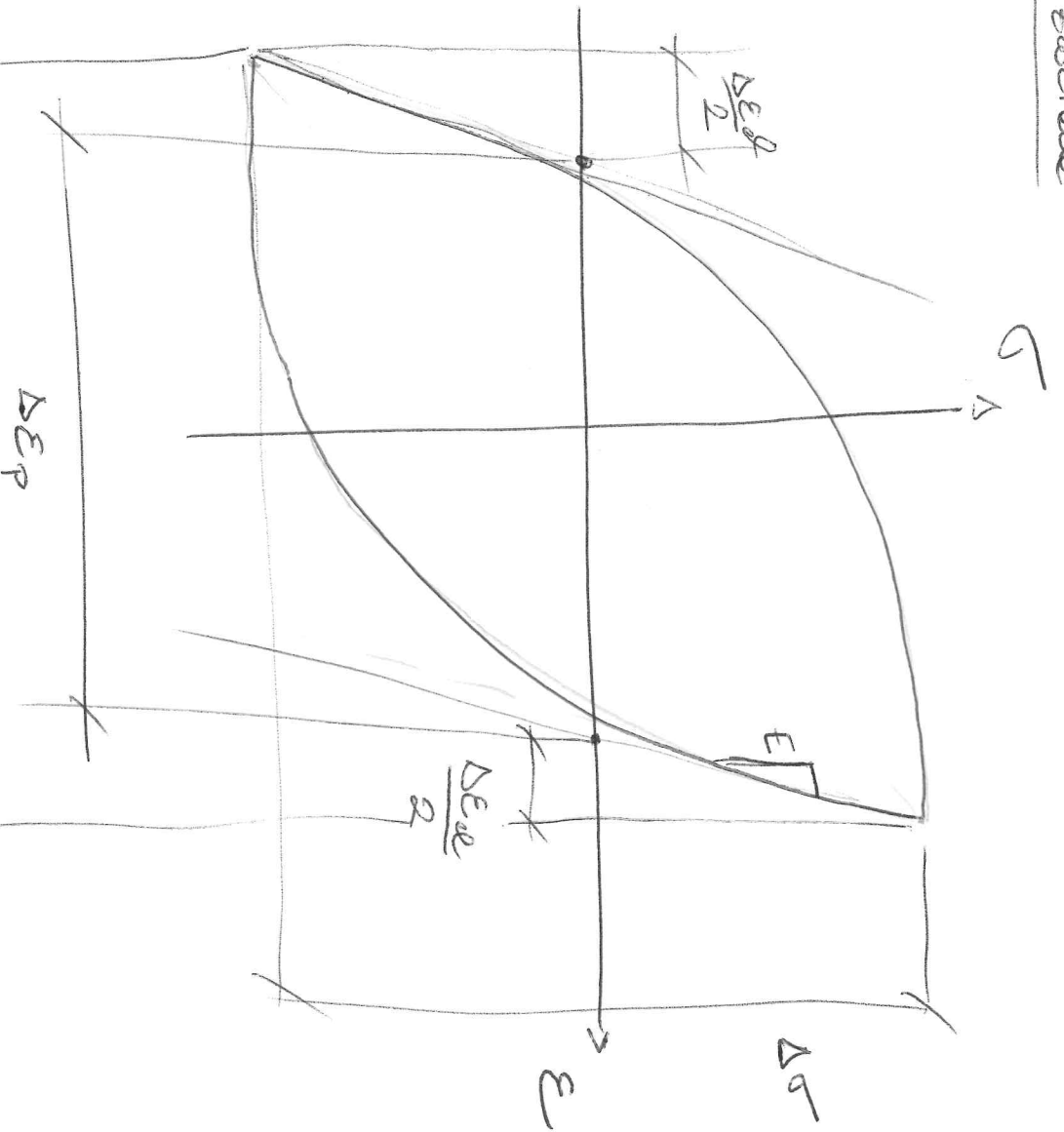
145

57.2.2 METODO STRAIN-LIFE

Questo metodo coinvolge la valutazione di deformazioni plastiche ed elastiche ed è particolarmente utile in casi in cui non presenti tensioni elevate e l'aspettativa di vita è relativamente scarsa. Evidenzia il metodo basato anche nella componibile elastica può essere utilizzato anche nei casi di valutazione delle fatighe con cicli numerosi di cicli.

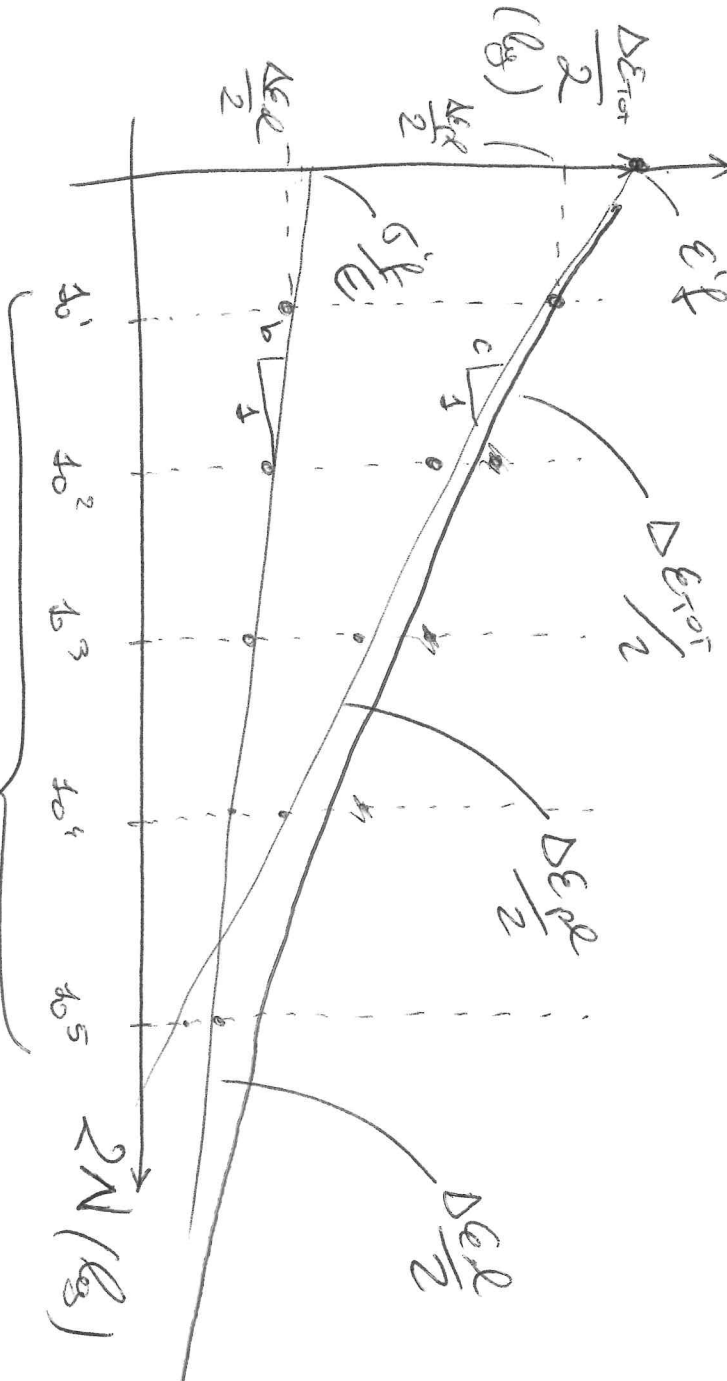
ROTA BASE

- Test in controllo di deformazione ciclica o trazione e compressione con il solito stesso amplitude.
- Inizialmente il ciclo si muove fino ad arrivare ad una stabilizzazione



Calcolo AMPIZZA DI DEFORMAZIONE TOTALE

$$\frac{\Delta E_{\text{TOT}}}{2} = \frac{\Delta E_{\text{el}}}{2} + \frac{\Delta E_{\text{pl}}}{2}$$



PROVE Sperimentali A VARIE $\frac{\Delta E_{\text{tot}}}{2}$

trovando due rette in $\log - \log$ e prov. fittate con leggi di potenza

Equazione di HANSON-COTTRELL (doppia logaritmica): $\frac{\Delta E_{\text{pl}}}{2} = \epsilon_f^p (2N)^c$
 Equazione di BASALIN (sf. elastico): $\frac{\Delta E_{\text{el}}}{2} = \sigma_f^p (2N)^b$

$\epsilon_f^p \rightarrow$ coefficiente di duttilità a fatica

$\sigma_f^p \rightarrow$ coefficiente di resistenza a fatica

$c \rightarrow$ esponente della duttilità a fatica

$b \rightarrow$ esponente della resistenza a fatica

$$\boxed{\Delta E_{\text{tot}} = \epsilon_f^p (2N)^c + \frac{\sigma_f^p (2N)^b}{E}}$$